

Actividad 2:
Apoyo a la caracterización adicional
de las masas de agua subterránea
en riesgo de no cumplir los objetivos
medioambientales en 2015

Demarcación Hidrográfica del Júcar

MASA DE AGUA SUBTERRÁNEA
080.181 Sierra de Salinas



GOBIERNO
DE ESPAÑA

MINISTERIO
DE CIENCIA
E INNOVACIÓN

MINISTERIO
DE MEDIO AMBIENTE
Y MEDIO RURAL Y MARINO



Instituto Geológico
y Minero de España

DIRECCIÓN GENERAL
DEL AGUA

MASA DE AGUA SUBTERRÁNEA (nombre y código):

Sierra de Salinas 080.181

1.- IDENTIFICACIÓN

Clase de riesgo

Cuantitativo

Detalle del riesgo

Cuantitativo extracción

Ámbito Administrativo:

Demarcación hidrográfica	Extensión (km ²)
JUCAR	141,60

CC.AA.
Comunidad Valenciana

Provincia/s
03-Alicante/Alacant

Población asentada:

Tipo de población	Nº de habitantes en el entorno de la masa	Censo (año)
De derecho (censada)	57.777	2005
De hecho (estimada)	60.202	2005

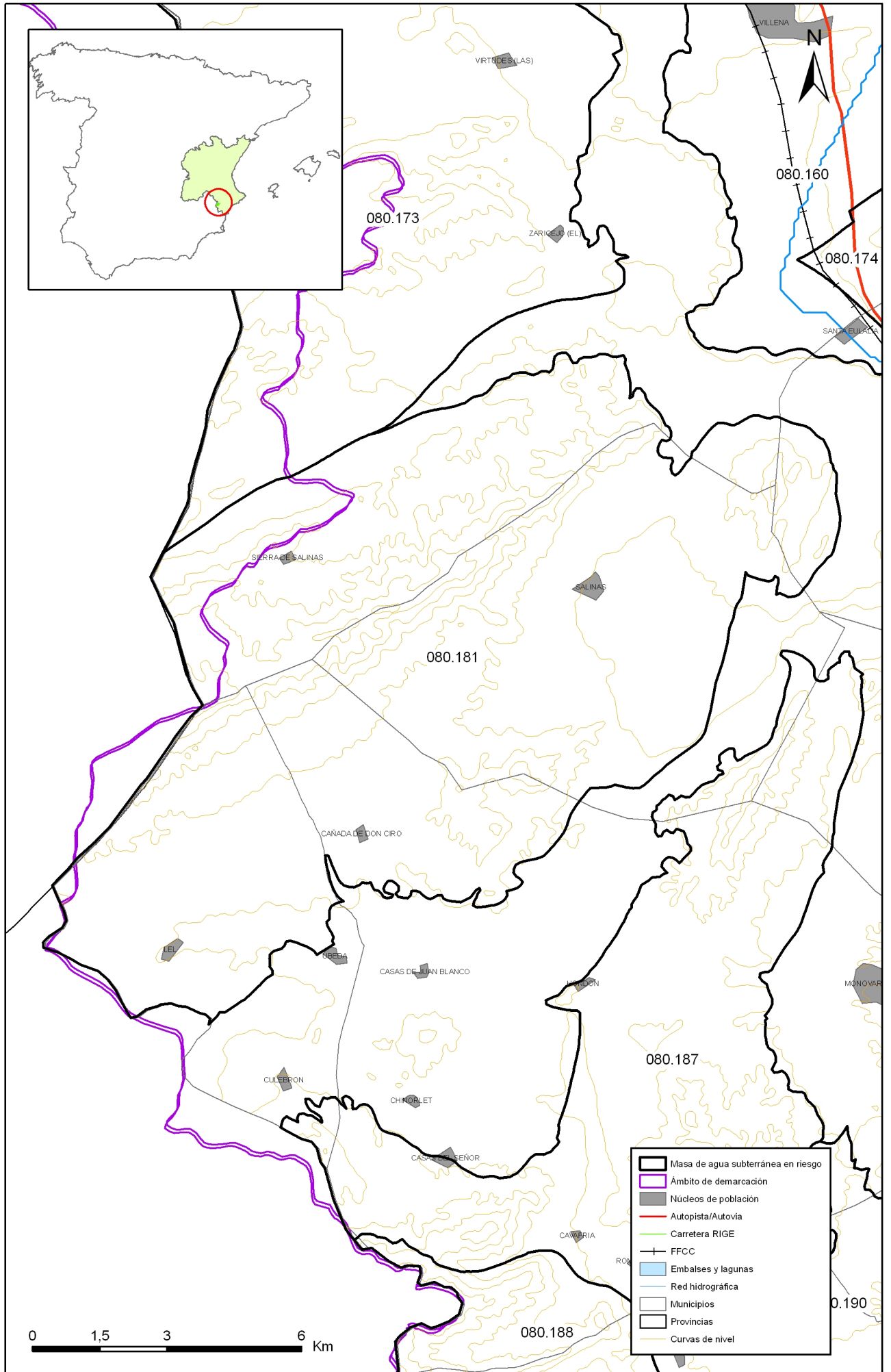
Topografía:

Distribución de altitudes	
Altitud (m.s.n.m)	
Máxima	1.210
Mínima	490

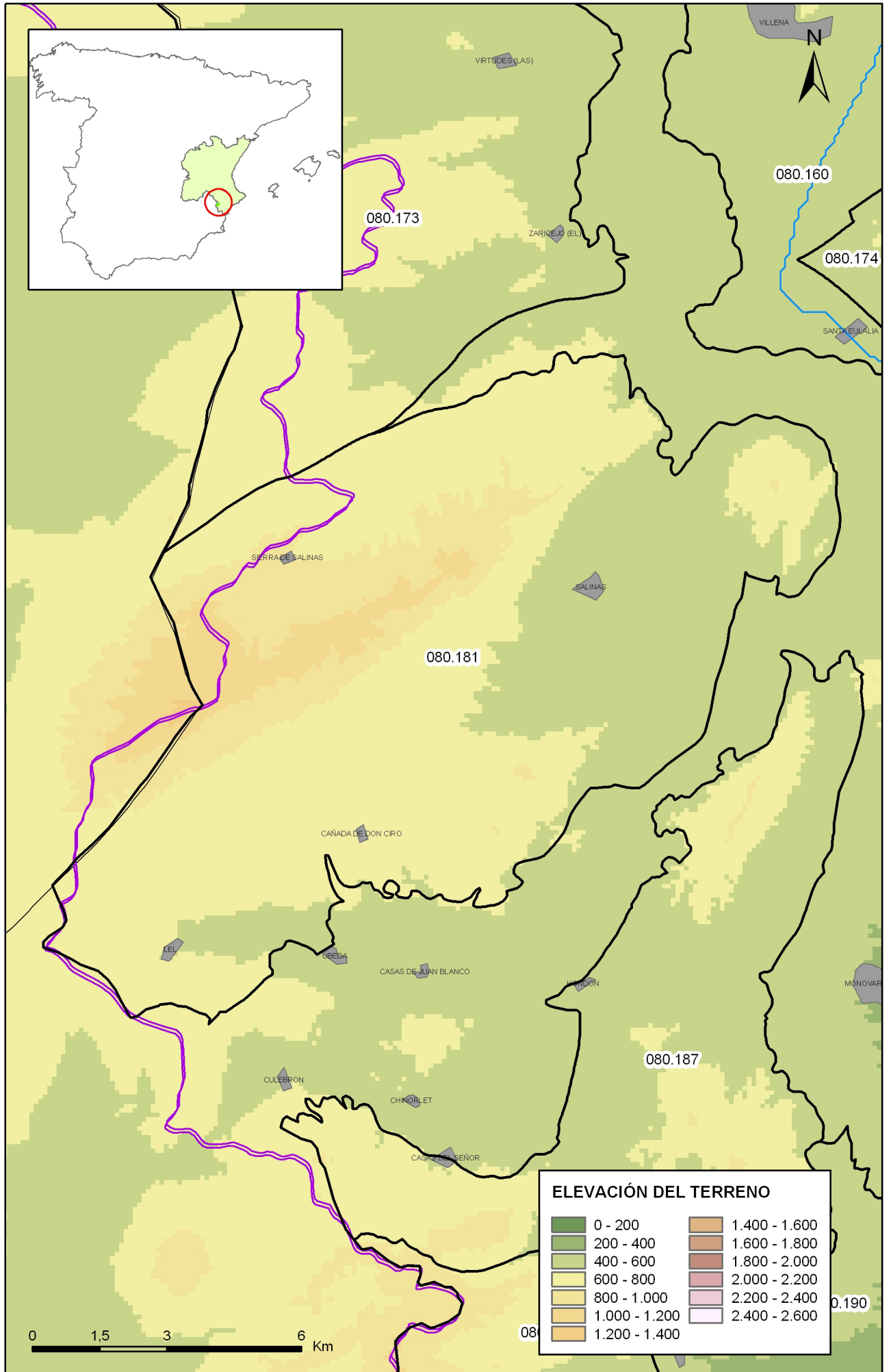
Modelo digital de elevaciones		
Rango considerado (m.s.n.m)		Superficie de la masa (%)
Valor menor del rango	Valor mayor del rango	
490	590	32
590	710	29
710	880	31
880	1.210	8

Información gráfica:

Base cartográfica con delimitación de la masa
Mapa digital de elevaciones



Mapa 1.1 Mapa base cartográfica de la masa Sierra de Salinas (080.181)



Mapa 1.2 Mapa digital de elevaciones de la masa Sierra de Salinas (080.181)

2.- CARACTERÍSTICAS GEOLÓGICAS

Ámbito geoestructural:

Unidades geológicas
Prebético meridional
Cuencas intermontañas de las Cordilleras Béticas

Columna litológica tipo:

Litología	Extensión Afloramiento km ²	Rango de espesor (m)		Edad geológica	Observaciones
		Valor menor del rango	Valor mayor del rango		
Margas, yesos y arcillas	0,00			Triásico	
Dolomías, calizas y margas	1,20	200	500	Jurásico	
Margas (impermeable de base)	0,90	100		Cretácico inferior	
Calizas/Dolomías/Calizas	32,20	600	1.100	Albiense-Aptiense/Cenomaniense/Senonense	
Margas	3,60		250	Eoceno inferior	
Calizas pararecificales	3,30		85	Eoceno medio	
Calcarenitas	31,90		150	Mioceno inferior	
Conglomerados, gravas y arcillas	56,00			Pliocuaternario	

Origen de la información geológica:

Biblioteca	Cod. Biblioteca	Fecha	Título
IGME	33065	1979	ANALISIS DE LA PROBLEMÁTICA HÍDRICA EN LA CUENCA DEL VINALOPO
IGME	32706	1979	INVESTIGACION HIDROGEOLOGICA DE LA CUENCA ALTA DE LOS RIOS JUCAR Y SEGURA. INFORME FINAL (SISTEMAS HIDROGEOLOGICOS DE: ASCOY-SOPALMO, SINCLINAL DE CALASPARRA, CARCHE-SALINAS, JUMILLA-VILLENA, UNIDAD NORTE, UNIDADES CENTRAL Y SUROESTE).
IGME		1981	Mapa geológico de España, MAGNA HOJA 845, Yecla.
DPA		1982	Las aguas subterráneas de la provincia de Alicante
IGME	31888	1985	ESTUDIO SOBRE LA SALINIZACION DE LOS SISTEMAS ACUIFEROS IMPLICADOS EN EL PERIMETRO DE PROTECCION CAUDETE-VILLENA-SAX (ALICANTE)
IGME	33171	1988	ESTUDIOS DE ASESORAMIENTO Y APOYO EN MATERIA DE AGUAS SUBTERRANEAS EN ALBACETE, ALICANTE Y MURCIA. (1987-88) (AREAS ESTUDIADAS: FINESTRAT ; ASCOY-SOPALMO ; BIAR ; ELCHE ; HELLIN ; BENITACHEL ; VILLAJOSYA ; CARCHE-SALINAS ; CARAVACA ALTO GUADALENTIN).
MMA		2005	Adaptación de los acuíferos a las masas de agua subterránea y actualización de los balances hídricos en el ámbito de la confederación hidrográfica del Júcar. Tomo II. Descripción de las masas de agua subterránea definidas.
MMA	46	2005	ESTUDIO INICIAL PARA LA IDENTIFICACIÓN Y CARACTERIZACIÓN DE LAS MASAS DE AGUA SUBTERRÁNEA DE LAS CUENCAS INTERCOMUNITARIAS
IGME	62783	2004	SIMULACION DE LA GESTION DE LOS RECURSOS HIDRICOS EN EL MEDIO VINALOPO. INFORME IGME H6.001.04

Información gráfica:

Mapa geológico

Cortes geológicos y ubicación

Columnas de sondeos

Descripción geológica en texto

Descripción geológica

Comprende la Sierra de Salinas y Sierra de Cabrera, situadas al Oeste de la localidad de Sax, en la provincia de Alicante. Al Este limita con el valle del Alto Vinalopó. El límite occidental coincide con el límite de provincia entre Alicante y Murcia. Al Sureste limita con la Sierra de la Umbría y la Sierra de la Sima y al Norte con Sierra de Enmedio.

La unidad hidrogeológica de Serral-Salinas, se encuentra enclavada, desde el punto de vista geológico regional, en el marco de las Cordilleras Béticas, y dentro de esta en la zona Prebética Meridional. Esta zona presenta fuertes cambios de facies y de potencia, a veces, incluso en distancias relativamente cortas.

Litológicamente el Trías de esta zona está constituido por arcillas abigarradas, yeso, anhidrita, sal, cuarzos bipiramidales, rocas volcánicas básicas y dolomías arcillosas oscuras. Los afloramientos triásicos más importantes que aparecen en la zona son los de Pinoso, Villena-Sax y La Rosa, y de menor importancia los de Cañada Roja y Charco de la Peña. Los cuatro primeros presentan, claramente una disposición diapírica, mientras que el último corresponde a un afloramiento alóctono. Además de estos afloramientos señalados, se han encontrado en los sondeos de Don Cirio y Lel-2 olistolitos del Trías interestratificados con las margas del Mioceno.

Los únicos afloramientos jurásicos representados en la zona son los del Norte de la Sierra del Carche y los del extremo noroccidental de la Sierra de Salinas. Mientras que en la Sierra del Carche solo aflora el Kimmeridgiense superior (como consecuencia de innumerables fallas existentes) en la Sierra de Salinas se puede establecer una serie completa del Jurásico, auxiliándonos de cortes parciales en el terreno y de sondeos.

Una serie tipo del Jurásico, en la sierra de Salinas, que podría ser representativa para la alineación Sierra Salinas, sería la siguiente:

De muro a techo:

- 75 m de dolomías microcristalinas grises, hacia el techo, y hacia la base calizas recristalizadas rojizas. Lias inferior? (Fm. Carretas).
 - 20 m de dolomías arcillosas y arcillas dolomíticas amarillentas Lías? (Fm. Madroño).
 - 150 m. De dolomías de romboedros y hacia la parte alta unos 10 m de calizas oolíticas. Dogger? (Fm. Chorro).
- En el techo de estas calizas existe un "hard ground" muy constante en todo el Prebético, que nos habla de un hiato, al menos durante el Oxfordiense inferior.
- 20 m de calizas subnodulosas con Ammonites. Oxfordiense superior.
 - 25 m de margas y margocalizas, y calizas micríticas grises. Kimmeridgiense inferior. (Fm. Lorente).
 - 50 m de dolomías grises. Kimmeridgiense medio? (Fm. Gallinera).
 - 100 m de calcarenitas oolíticas y calizas pararecificales. Kimmeridgiense superior. (Fm. Cabañas).
 - 5 m de areniscas. Portlandiense. (Fm. Mariola).

El Berriasiense está representado por margocalizas ligeramente areniscosas y margas arenosas amarillentas, siendo mucho más marino (pelágico) y más margoso, con abundantes Calpionellas, hacia el Sureste.

El período Neocomiense-Barremiense aparece representado bajo una misma facies detrítica de más de 100 m de potencia (facies "Weald") de arenas areniscas y arcillas, si bien en el Barremiense de la sierra del Carche se han encontrado Ammonites que nos ponen de manifiesto ya la influencia claramente pelágica.

Los afloramientos del Aptiense más septentrionales corresponden a los de las sierras de Carche y Salinas y aunque se observan pasadas de calizas francamente marinas, con numerosas Orbitolinas, existe un gran predominio de tramos detríticos (arenas y arcillas) que indican un régimen de sedimentación de tipo epicontinental. Esta facies, predominantemente detrítica de unos 300 m de potencia pasa hacia el Sur, y de manera muy rápida a hacerse mucho más caliza y más marina, como ha podido comprobarse en el sondeo de La Herrada. Más al Sur todavía, aunque en esta transversal no se haya podido poner de manifiesto, el aptiense calizo que iba aumentando de potencia, se debe hacer más margoso, con presencia de Ammonites y

posiblemente vuelva a hacerse menos potente, por lo que pensamos que en esta transversal de sierra de Salinas-Pinoso, debe existir, al igual que en la de Mariola -Alicante, un surco en el Aptiense.

El Albiense está constituido por un predominio de materiales detríticos, (arenas, areniscas y arcillas) con algunas intercalaciones poco potentes de calizas y dolomías que caracterizan a la facies "Utrillas" y que en conjunto presentan un espesor de unos 200 m. Más al Sur, esta formación experimenta un cambio brusco de litología y potencia, en el sentido de que se hace fundamentalmente calizo-dolomítico, con abundantes Orbitolinas, como ha podido comprobarse en algunos sondeos de donde se deduce que el cambio se produce en una distancia inferior a 1 Km.

Las formaciones del Cretácico superior experimentan un cambio muy sustancial en la zona de Sierra de Salinas, con respecto a las equivalentes en el Prebético Interno situado al Norte.

El Cenomaniense de las sierras de Carche, Serral y Salinas va a estar constituido exclusivamente por un tramo único dolomítico de 300 a 350 m de potencia que va a disminuir hacia el Sur y el Este. La disminución hacia el Este puede ser motivada por la acción diapírica del Trías de Villena.

Al Sur de estas sierras, y ya dentro de la depresión rellena del Mioceno, se ha podido deducir mediante el estudio de sondeos, que el Cenomaniense, tiene numerosas intercalaciones margosas y margocalizas

El Turoniense aflora brevemente debido a que existió en esta alineación orográfica un umbral que impidió el depósito de materiales en este período.

En el Senoniense inferior continúa el mismo umbral mencionado. No existe, pues, depósito de Senoniense inferior en estas sierras. Más al Sur, en los alrededores de Pinoso, el Senoniense inferior está constituido por margas y margocalizas blancosadas ("capas rojas") claramente pelágicas.

El Senoniense superior descansa, por discordancia erosiva, directamente sobre el Cenomaniense. Litológicamente está constituido por calizas, margocalizas y algunas pasadas margosas con Globotruncanas, y cuya potencia visible es de 130 m. Poco más al Sur, aunque no aflore en esta zona, el Senoniense superior se hace más margoso y presenta facies de "capas rojas".

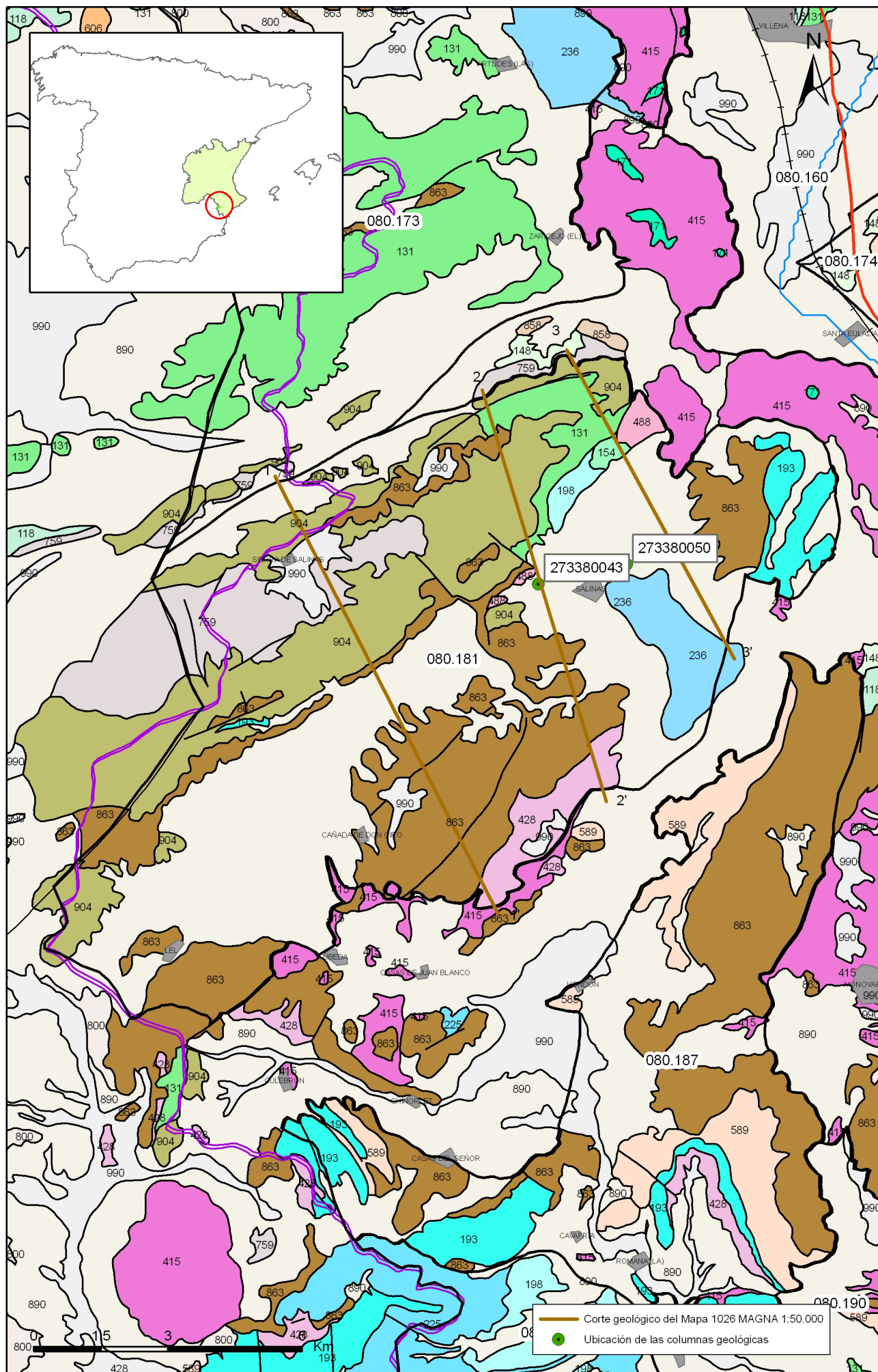
En el Terciario se registra el Paleoceno constituido por unos 70 m de calcarenitas, algo dolomitizadas. El Eoceno está representado por dos tramos bien definidos, uno inferior constituido por 250 m de margas verdes y otro calizo, de 275 m de potencia. El Oligoceno está constituido por un conjunto margoso con 200 m de espesor de color salmón con intercalaciones de niveles de conglomerados de cuarcita, y brechas calizas. Este depósito es continental.

Al Sur de las sierras de Carche y Salinas existe un potente relleno del Mioceno cuyo espesor se conoce por datos de sondeos y es superior a los 450 m, en algunos puntos y que está constituido, fundamentalmente por materiales margosos, si bien en algunos puntos se observa en la base un potente tramo de 300 m de margocalizas detríticas. La edad de este relleno se encuentra entre el Burdigaliense y el Pliocuaternario.

Dentro de las margas existen intercalaciones de calizas y areniscas, así como en algunos puntos se han detectado olistolitos del Trías de hasta 230 m de potencia.

Dentro de la zona existen cuatro depresiones importantes en las que el depósito del Pliocuaternario ha alcanzado espesores notables. Estas depresiones son las del Puerto, Pinoso, laguna de Salinas y Hoya del Moñigar; de ellas, las tres primeras, deben sus enormes espesores de Pliocuaternario a la acción diapírica del Trías. Por último la depresión intermontañosa de la Hoya del Moñigar, no parece tener relación con la acción diapírica del Trías y presenta unos espesores menores a los de las demás depresiones, no superando en ningún caso los 100 m. La litología del Pliocuaternario de todas estas depresiones es a base de conglomerados poligénicos, gravas, arenas y arcillas, observándose un predominio de materiales arcillosos en las depresiones de origen claramente diapírico.

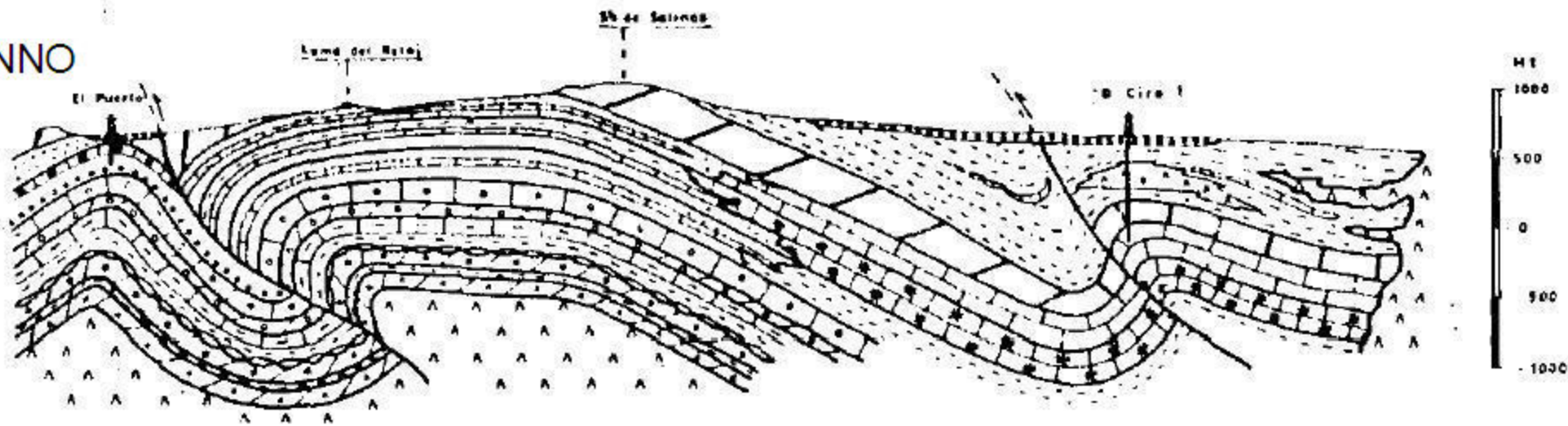
Las deformaciones tectónicas de la región han sido ocasionadas por dos causas: la orogenia principal y los efectos halocinéticos del Trías. Las estructuras de la zona en términos generales tienen una dirección típicamente bética NE-SO, si bien hay direcciones extrañas provocadas por los empujes diapíricos. Las estructuras originadas en cada caso son pliegues de gran envergadura, cabalgamientos de vergencia Norte y fallas de desgarre si han sido provocadas por los esfuerzos de las Cordilleras Béticas y direcciones aberrantes en los pliegues junto con deslizamientos gravitacionales si los causantes son los efectos halocinéticos.



Mapa 2.1 Mapa geológico de la masa Sierra de Salinas (080.181)

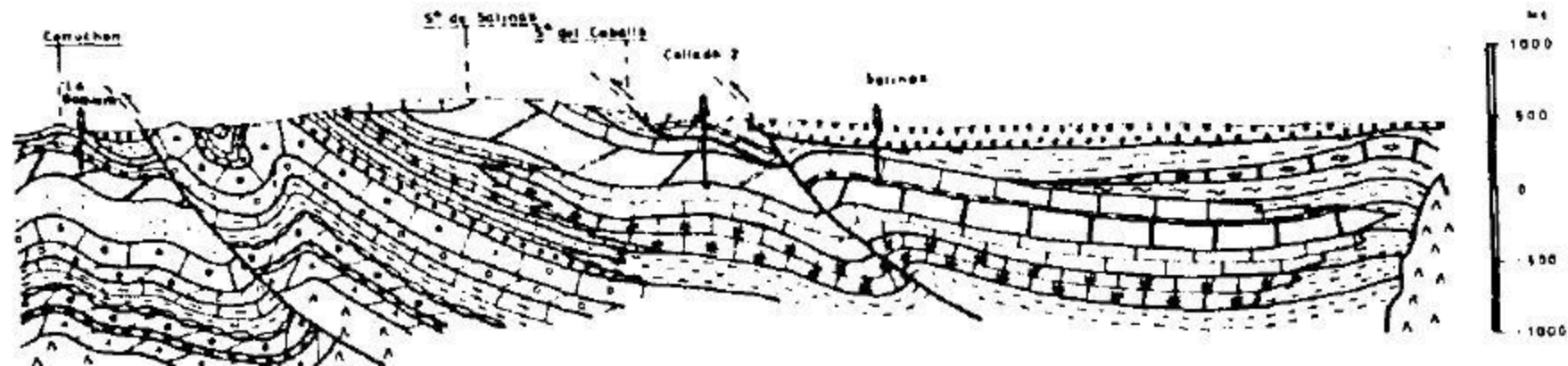
CORTE 1-1'

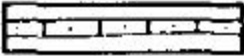
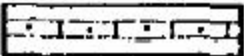
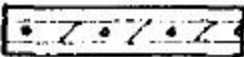
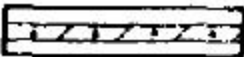
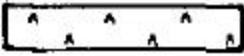
NNO

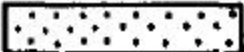
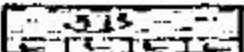
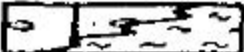
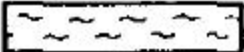
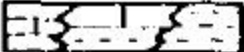
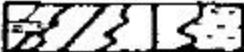


CORTE 2-2'

NO

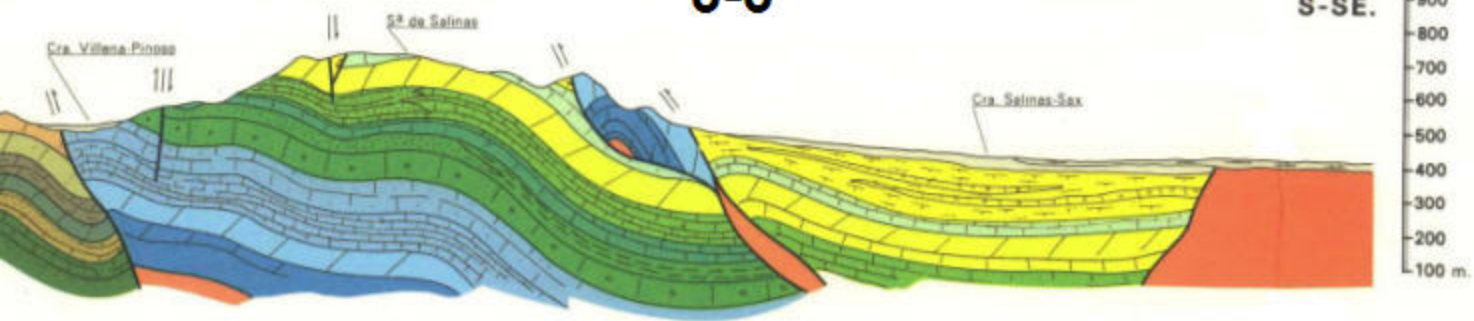


	ALBIENSE	Arenas y areniscas (facies "Utrillas"), o calizas, o margas y margocalizas
	APTIENSE	Arenas, calizas y margas (formación "Oliva"), o calizas organógenas, o margas y margocalizas.
	NEOCOM. - BARREMIENSE	Conglomerados, areniscas y arcillas (facies "Weald"), o margas
	BERRIASIENSE	Areniscas.
	PORTLANDES	Calcarenitas oolíticas (formación "Nariño")
	KIMMERID. SUPERIOR	Calizas oolíticas (formación "Cabañas").
	" MEDIO ?	Dolomías con fantasmas de oolitos (formación "Gallinera")
	OXFORD SUPERIOR - KIMMERID. INFERIOR	Calizas nodulosas, margas y margocalizas (formación "Lorente").
	DOGGER ?	Dolomías (formación "Charra")
	LIAS ?	Arcillas (formación "Madreño").
	" INFERIOR ?	Dolomías (formación "Correlos").
	TRIAS	Arcillas abigarradas y yesos.

	PLIO - CUATERNARIO	Conglomerados.
	MIOCENO	Calizas, arcillas y a veces olistolitos de Trias
	OLIGOCENO ?	Conglomerados y arcillas
	EOCENO MEDIO	Calizas (formación "Coto"), o arcillas y calizas
	.. INFERIOR	Arcillas, arenas y areniscas (formación "Tres Fuentes")
	SENONIENSE SUPERIOR	Calizas, margas y calcarenitas, o margas.
	.. INFERIOR	Calizas trufadas (formación "Benejama"), o margas y calizas, o margas
	CENOMAN - TURONIENSE o CENOMANIENSE	"Trilogía" dolomítica (formaciones "Quesada", "Franco" y "Benejama"), o dolomías (formación "Camus"), o calizas, o margas y margocalizas.

3-3'

S-SE.



PREBETICO INTERNO SEPTENTRIONAL

TER.	PAL.	OLIGOCENO		18
CRETACICO	SUPERIOR	SENONIENSE	MAESTRICH.	17
			CAMPANIENSE	
		CENOMANIENSE	16	
	INFERIOR	NEO.	ALBIENSE	15
			APTIENSE	13
			BARREMIENSE	12
		BERRIASIENSE	11	
JURASICO	MALM.	PORTLANDIENSE	10	
		KIMMERIDGIENSE	9	
		OXFORDIENSE SUP.	8	
	DOGGER + LIAS	7		

- 24 Dolomías masivas con Rudistas.
- 23 Arenas y dolomías.
- 22 Arenas y arcillas vermiculares.
- 21 Calizas beige con Orbitolinas y arenas.
- 20 Calizas y dolomías con Toucasias.
- 19 Areniscas y arcillas rojas y verdes.
- 18 Conglomerados, areniscas, arcillas y margas salmón.
- 17 Calizas con Phitonellas y calizas margosas con Globotruncanas.
- 16 Dolomías masivas.
- 15 Calizas beige con Orbitolinas, calcarenitas y arenas.
- 14 Calizas con Rudistas y Orbitolinas margas y arenas.
- 13 Calizas con Toucasias, arenas y calcarenitas.
- 12 Arenas, arcillas y calizas.
- 11 Calizas y calizas arenosas.
- 10 Calizas masivas grises.
- 9 Calizas tableadas.
- 8 Dolomías masivas y calizas oolíticas.
- 7 Dolomías brechoides.
- 6 Calizas con Nannulites.
- 5 Biocalcarentitas.
- 4 Dolomías tableadas grises.
- 3 Yesos grises y blancos con intercalaciones de dolomías.
- 2 Dófitas.
- 1 Yesos y arcillas vesiculares rojas.

PREBETICO INTERNO CENTRAL

TER.	PAL.	EOCENO	MED.	6	5

PREBETICO S. L.

JUR.	LIAS	4
TRIASICO	SUP. F. K.E.	3
		1

- 4
- 3
- 2
- 1

COLUMNA DEL SONDEO 2733 8 0050 (Salinas)

UTM-X: 682.771

UTM-Y: 4.266.222

0 - 613 m Margas y conglomerados del PLIOCUATERNARIO y margas del MIOCENO

613 - 634 m Calizas blancas. SENONENSE

634 - 690 m Alteraciones de margocalizas y margas grises

690 - 730 m Calizas blancas. SENONENSE

3.- CARACTERÍSTICAS HIDROGEOLÓGICAS

Límites hidrogeológicos de la masa:

Límite	Tipo	Sentido del flujo	Naturaleza
Norte	Cerrado	Flujo nulo	Contacto impermeable, con las margas del Albiense
Sur	Cerrado	Flujo nulo	Contacto impermeable, con afloramientos y subafloramientos arcillosos del Keuper
Este	Cerrado	Flujo nulo	Contacto impermeable, con afloramientos y subafloramientos arcillosos del Keuper
Oeste	Abierto	Entrada-salida según varias circunstancias	Convencional, con la divisoria de la Cuenca del Segura

Origen de la información de Límites hidrogeológicos de la masa:

Biblioteca	Cod. Biblioteca	Fecha	Título
MMA	46	2005	ESTUDIO INICIAL PARA LA IDENTIFICACIÓN Y CARACTERIZACIÓN DE LAS MASAS DE AGUA SUBTERRÁNEA DE LAS CUENCAS INTERCOMUNITARIAS

Naturaleza del acuífero o acuíferos contenidos en la masa:

Denominación	Litología	Extensión del afloramiento km ²	Geometría	Observaciones
Serral-Salinas	Carbonatado	71,6	Compleja	
Carbonera	Carbonatado	9,7	Compleja	
Cabrera	Carbonatado	5,5	Compleja	

Origen de la información de la naturaleza del acuífero:

Biblioteca	Cod. Biblioteca	Fecha	Título
IGME	62783	2004	SIMULACION DE LA GESTION DE LOS RECURSOS HIDRICOS EN EL MEDIO VINALOPO. INFORME IGME H6.001.04

Espesor del acuífero o acuíferos:

Acuífero	Espesor		
	Rango espesor (m)		% de la masa
	Valor menor en rango	Valor mayor en rango	
Serral-Salinas		400	20
Serral-Salinas	400	500	70
Serral-Salinas	600		10

Origen de la información del espesor del acuífero o acuíferos:

Biblioteca	Cod. Biblioteca	Fecha	Título
MMA	01661	1977	EST. RECOPIACION/SINTESIS REC. HIDRAUL. CUENCAS R.VINALOPO-VERDE
IGME	33171	1988	ESTUDIOS DE ASESORAMIENTO Y APOYO EN MATERIA DE AGUAS SUBTERRANEAS EN ALBACETE,ALICANTE Y MURCIA. (1987-88) (AREAS ESTUDIADAS: FINESTRAT ;ASCOY-SOPALMO ;BIAR ;ELCHE ;HELLIN ;BENITACHEL ;VILLAJOSYOSA ;CARCHE-SALINAS ;CARAVACA ALTO GUADALENTIN).
MMA	14	1999	Informe sobre los sondeos realizados para el abastecimiento de Albacete.
IGME	62730	2003	APLICACION DE UN MODELO MATEMATICO PARA SIMULAR LA EVOLUCION DE LOS RECURSOS HIDRICOS DISPONIBLES EN EL ACUIFERO DE SERRAL - SALINAS (ALICANTE) ANTE DIFERENTES ALTERNATIVAS DE GESTION. INFORME IGME H.6.003/03
MMA		2005	Adaptación de los acuíferos a las masas de agua subterránea y actualización de los balances hídricos en el ámbito de la confederación hidrográfica del Júcar. Tomo II. Descripción de las masas de agua subterránea definidas.
MMA	46	2005	ESTUDIO INICIAL PARA LA IDENTIFICACIÓN Y CARACTERIZACIÓN DE LAS MASAS DE AGUA SUBTERRÁNEA DE LAS CUENCAS INTERCOMUNITARIAS

Porosidad, permeabilidad (m/día) y transmisividad (m²/día)

Acuífero	Régimen hidráulico	Porosidad	Permeabilidad	Transmisividad (rango de valores)		Método de determinación
				Valor menor en rango	Valor mayor en rango	
Sierra de Salinas (genérico masa)	Libre	Fisuración-Karstificación	Alta: 10+2 a 10-1 m/día	2.400,0	12.000,0	Ensayo de bombeo

Origen de la información de la porosidad, permeabilidad y transmisividad:

Biblioteca	Cod. Biblioteca	Fecha	Título
IGME	62730	2003	APLICACION DE UN MODELO MATEMATICO PARA SIMULAR LA EVOLUCION DE LOS RECURSOS HIDRICOS DISPONIBLES EN EL ACUIFERO DE SERRAL - SALINAS (ALICANTE) ANTE DIFERENTES ALTERNATIVAS DE GESTION. INFORME IGME H.6.003/03

Coefficiente de almacenamiento:

Acuífero	Coefficiente de almacenamiento			
	Rango de valores		Valor medio	Método de determinación
	Valor menor del rango	Valor mayor del rango		
Sierra de Salinas		0,00500		Modelo matemático

Origen de la información del coeficiente de almacenamiento:

Biblioteca	Cod. Biblioteca	Fecha	Título
IGME	30530	1972	PROYECTO DEL ESTUDIO DE LOS RECURSOS HIDRAULICOS TOTALES DE LA PROVINCIA DE ALMERIA

Información gráfica y adicional:

*Mapa de permeabilidades según litología
Mapa hidrogeológico con especificación de acuíferos*

Descripción hidrogeológica

Los materiales geológicos que dan lugar a esta masa de agua subterránea abarcan una amplia variedad de litologías y edad con notables cambios laterales de facies. Se encuentran presentes tanto materiales permeables como impermeables que representan tanto el Mesozoico como el Terciario. Dentro de la enorme variedad litológica, cabe destacar como principal acuífero las dolomías y calizas del Cretácico superior que a veces se prolongan en conexión con el Aptiense y Albiense de igual litología, mientras en otros casos el Cretácico inferior presenta comportamiento impermeable y constituye el muro del citado nivel acuífero. Le siguen en importancia las calizas pararrecifales del Eoceno medio.

El límite occidental en el sector Norte, está hidrogeológicamente cerrado, por los materiales de facies Utrillas y margas del Mioceno que mediante un cabalgamiento sellan las formaciones permeables del Cenomaniense. En el sector Sur es abierto y coincide con el límite de la cuenca del Segura. Los límites septentrional y oriental son cerrados, debido al contacto con el Trías diápirico en facies Keuper.

En profundidad se pueden distinguir dos acuíferos principales:

- Acuífero cretácico
- Acuífero eoceno

El primero es el más importante, al poseer un elevado valor de reservas. De Norte a Sur, el acuífero estaría constituido por dolomías del Cenomaniense, calizas del Aptiense-Albiense, más dolomías del Cenomaniense, más calizas del Senoniense superior, calizas del Aptiense-Albiense-Cenomaniense, más calizas del Senoniense inferior (sólo en el extremo oriental). En cuanto a las potencias, disminuyen hacia el Norte y Sur del sistema, lo más frecuente es una media de 600-700 m pudiendo alcanzar hasta 1100 m.

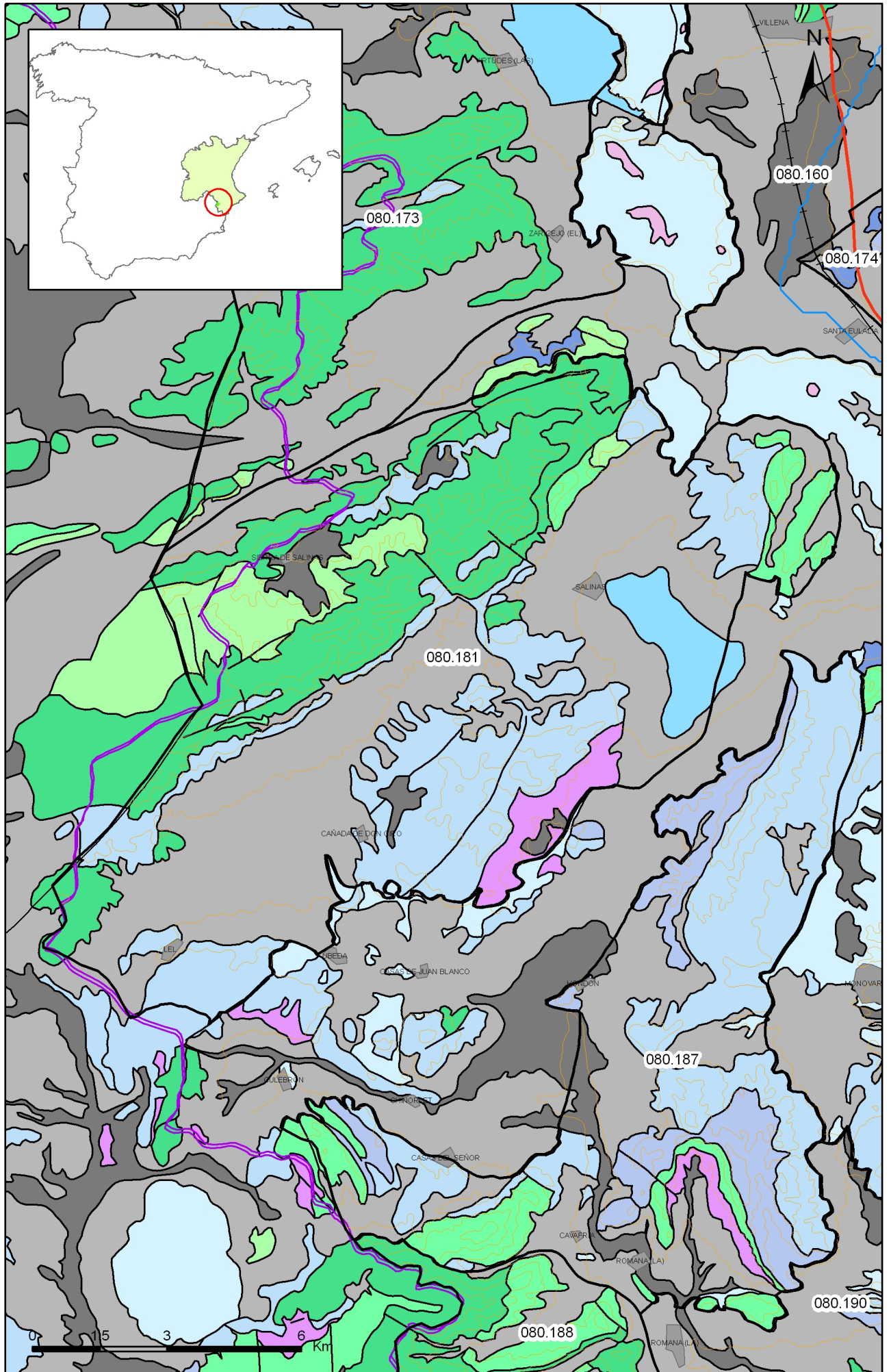
El acuífero eoceno está constituido por 250 m de calizas, actuando como impermeable de base unos 250 m de margas del Eoceno inferior.

En algunos trabajos se considera un tercer acuífero formado por los materiales miocenos, que estaría formado por 150 m de calcarenitas, siendo el impermeable de base unas margas de la misma edad.

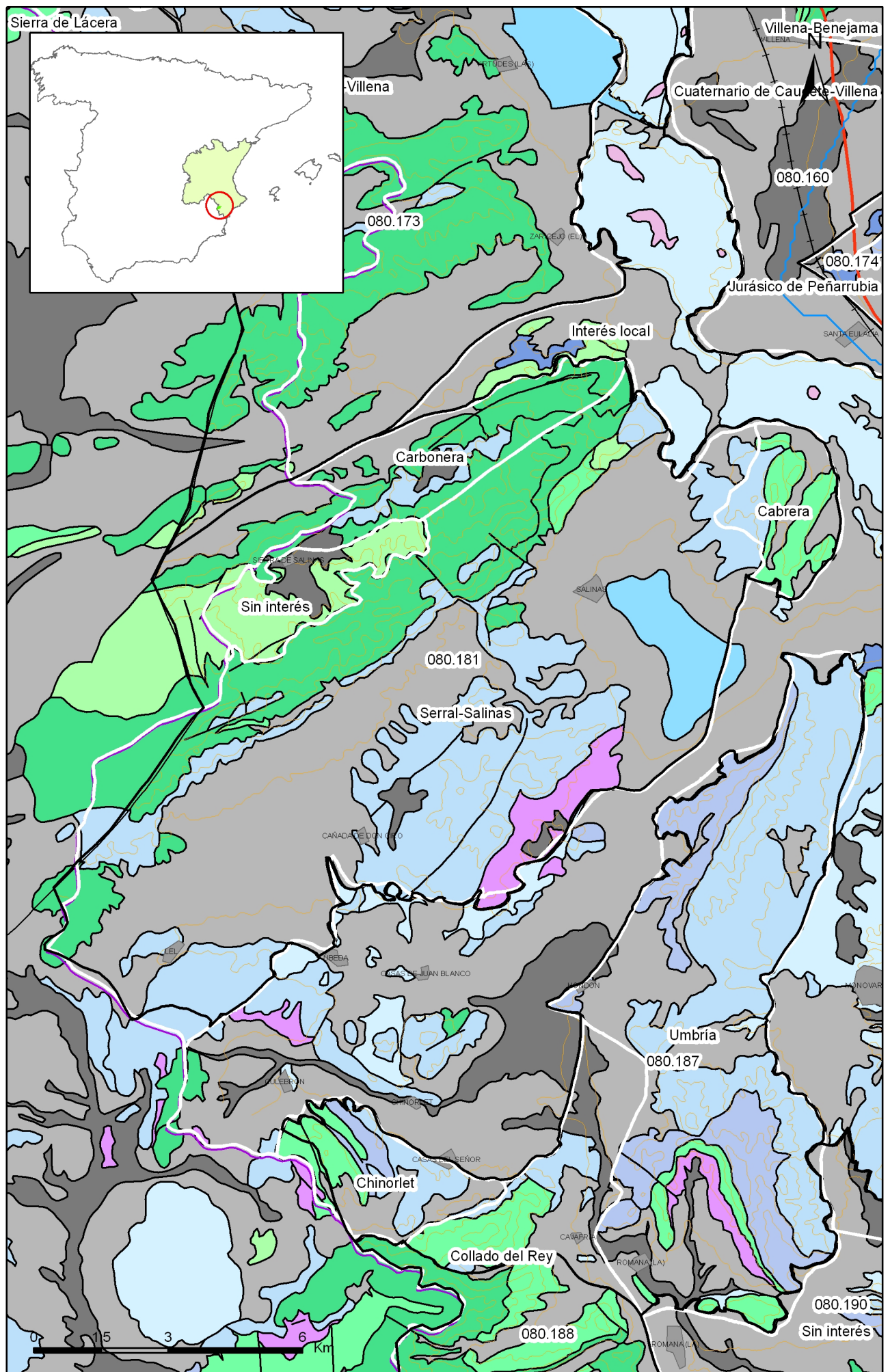
Asimismo, aunque relativamente inaccesible, los materiales del Jurásico, tienen cierta importancia hidrogeológica, constituido por calizas y dolomías con una potencia mínima de 200 m en la parte septentrional del sistema, pero que probablemente llegue a 500 m hacia el Sur. El impermeable de base estaría formado por litologías margosas del Kimmeridgiense inferior.

La piezometría está comprendida entre 400 m s.n.m. en su borde suroccidental y 200 m s.n.m. en el nororiental.

La alimentación se produce por infiltración del agua de lluvia e infiltración de excedentes de bombeo. Las salidas se producen fundamentalmente mediante bombeo.



Mapa 3.1 Mapa de permeabilidades según litología de la masa Sierra de Salinas (080.181)



Mapa 3.2 Mapa hidrogeológico con especificación de acuíferos de la masa Sierra de Salinas (080.181)

4.- ZONA NO SATURADA

Litología:

Véase 2.- Características geológicas generales

Véase 3.- Características hidrogeológicas generales, en particular, mapa de permeabilidades, porosidad y permeabilidad

Espesor:

Fecha o periodo	Espesor (m)		
	Máximo	Medio	Mínimo
1971-1977	128,80	126,40	123,90
1978-1994	269,20	179,30	13,90
2007-2008	273,70	273,50	273,40

Véase 5.- Piezometría

Suelos edáficos:

Tipo	Espesor medio (m)	% afloramiento en masa
Aridisol/Calcid/Haplocalcid//Haplargid//Haplosalid/Torriorthent		35,22
Aridisol/Calcid/Haplocalcid//Torriorthent//Haplargid/		16,47
Aridisol/Gypsid/Calcigypsid/Haplogypsid/Torriorthent///		2,38
Entisol/Orthent/Torriorthent//Haplocalcid//Haplargid/Petrocalcid		45,93

Vulnerabilidad a la contaminación:

Magnitud	Rango de la masa	% Superficie de la masa	Índice empleado
Muy baja		0,60	Permeabilidad Espesor de la ZNS Calidad del agua
Baja		11,50	Permeabilidad Espesor de la ZNS Calidad del agua
Moderada		86,90	Permeabilidad Espesor de la ZNS Calidad del agua

Origen de la información de zona no saturada:

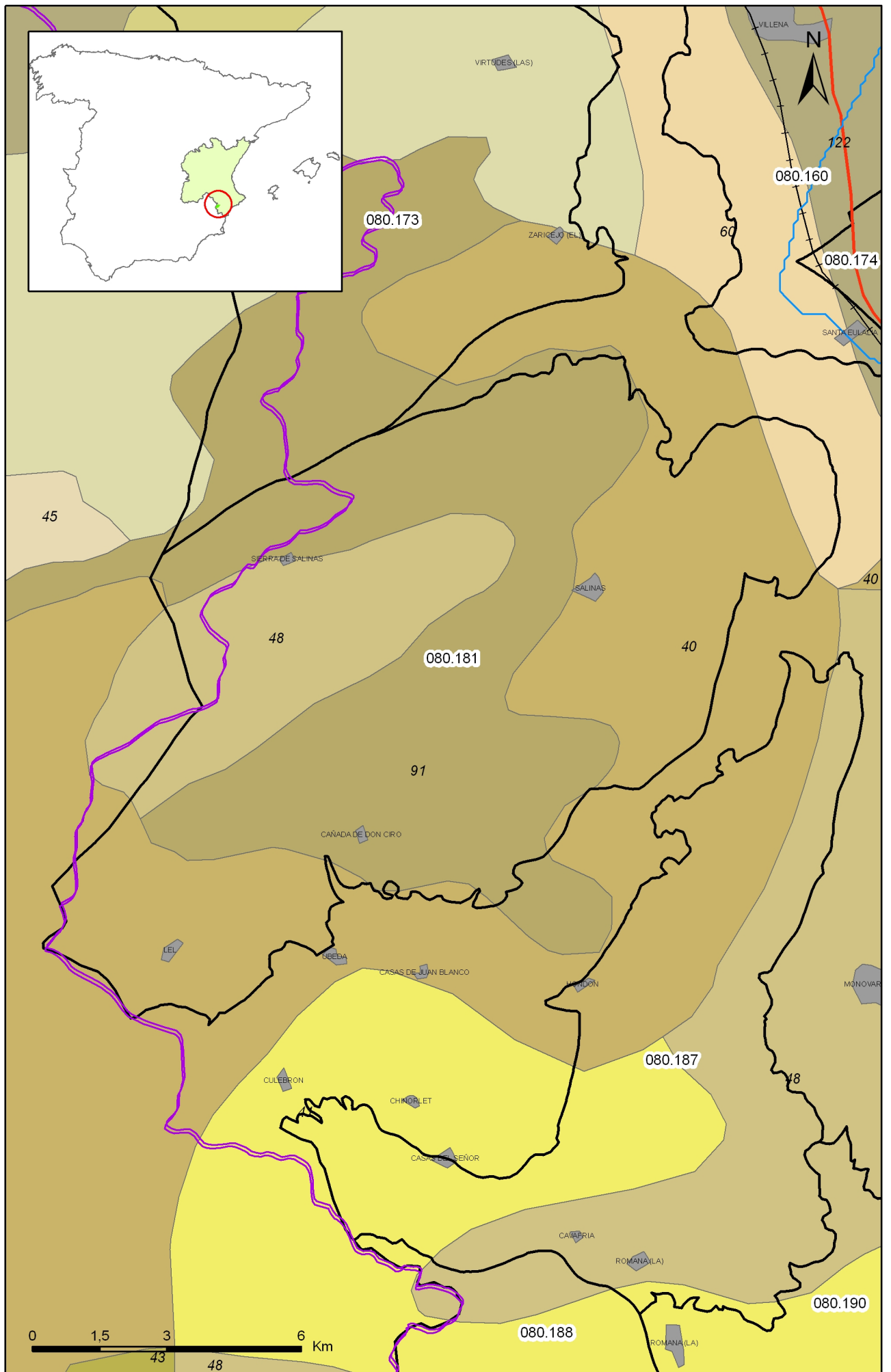
Biblioteca	Cod. Biblioteca	Fecha	Título
OTRAS		2001	Mapa de suelos. Atlas de España. IGN
OTRAS		1998	Cartografía temática de la Generalitat Valenciana 1:50.000. Mapa de vulnerabilidad a la contaminación de las aguas subterráneas. COPUT.

Información gráfica y adicional:

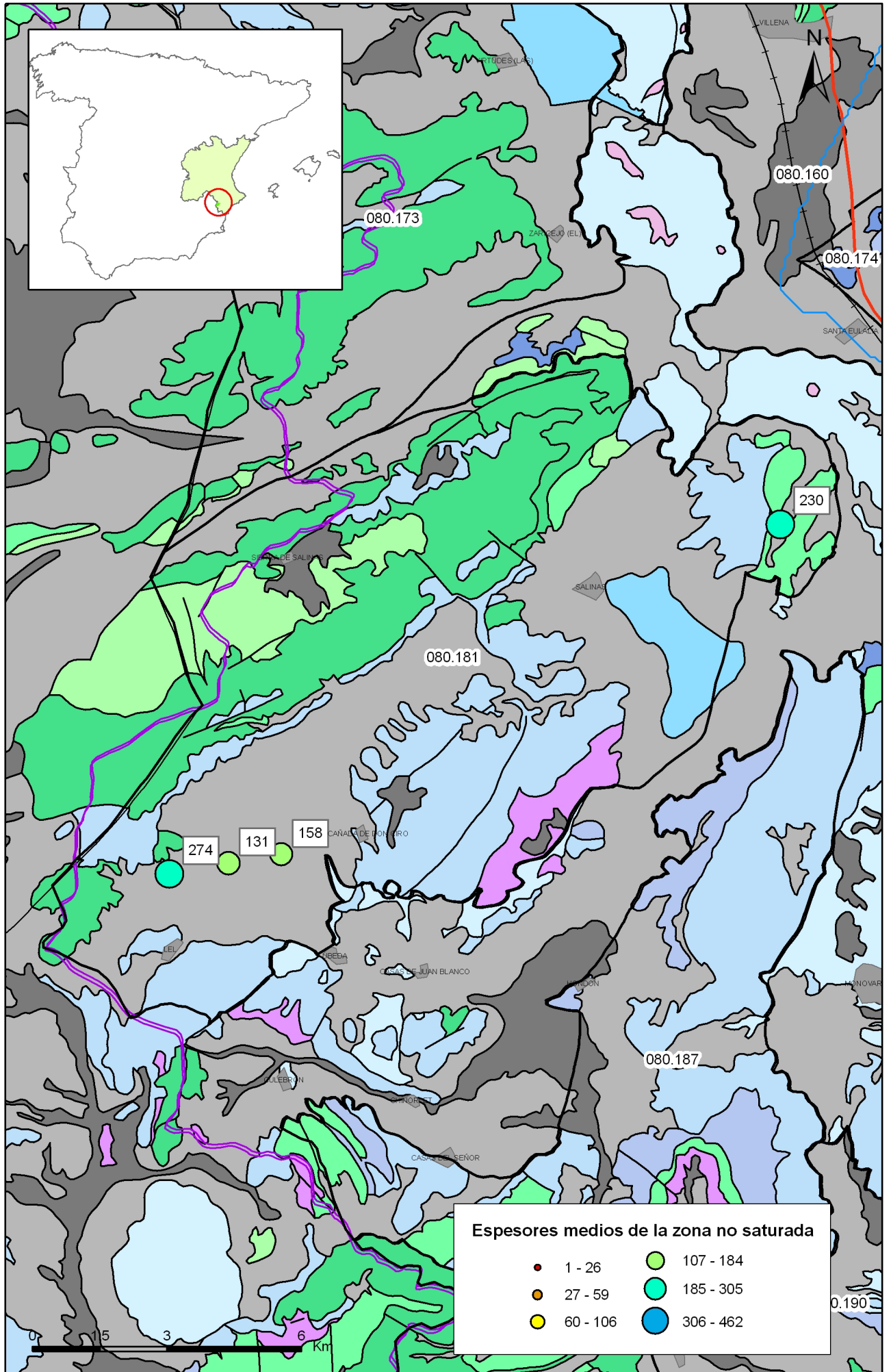
Mapa de Suelos

Mapa de espesor de la zona no saturada

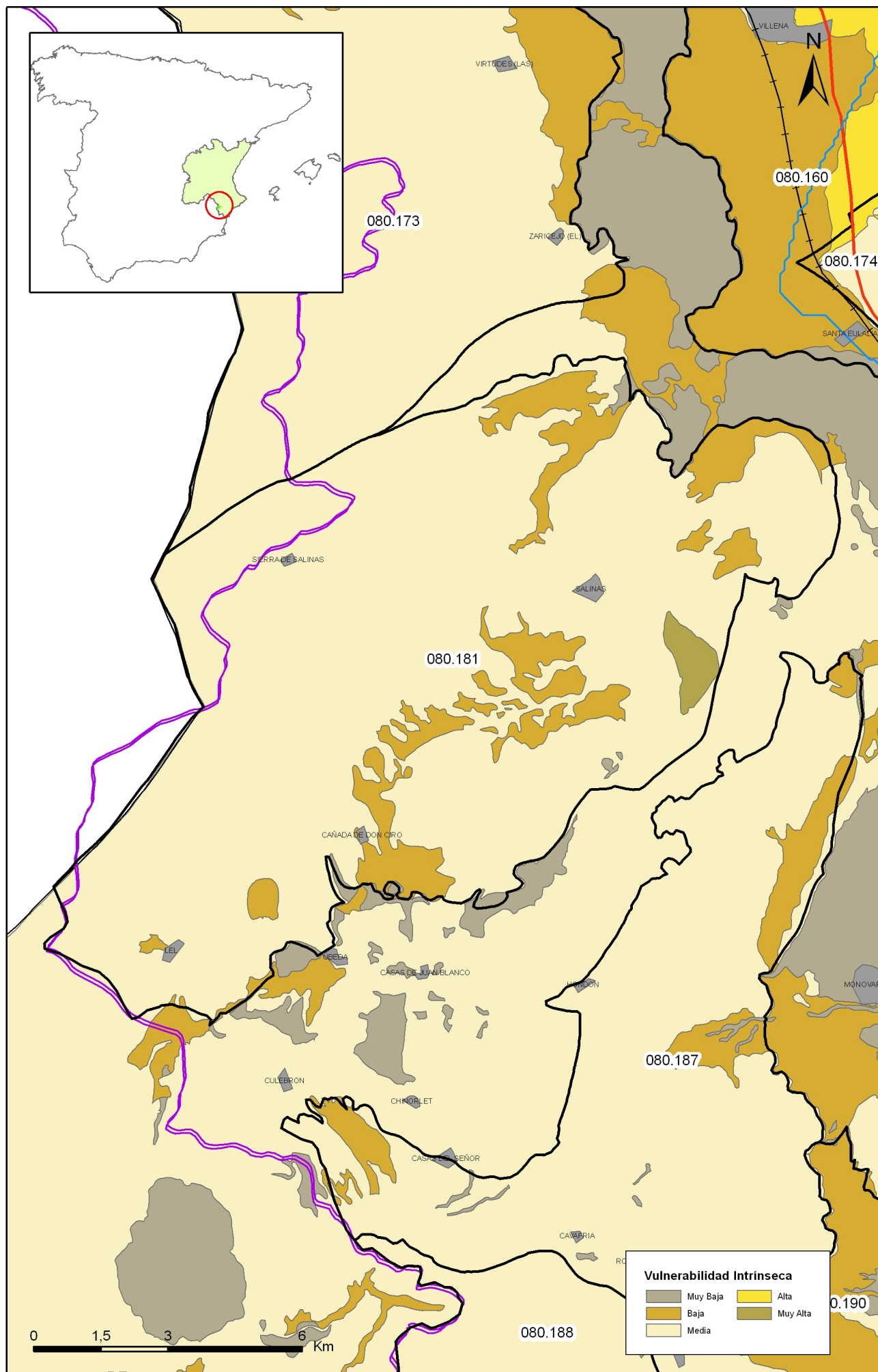
Mapa de vulnerabilidad intrínseca



Mapa 4.1 Mapa de suelos de la masa Sierra de Salinas (080.181)



Mapa 4.2 Mapa de espesores de la zona no saturada de la masa Sierra de Salinas (080.181)



Mapa 4.3 Mapa de vulnerabilidad intrínseca de la masa Sierra de Salinas (080.181)

5.- PIEZOMETRÍA. VARIACIÓN DEL ALMACENAMIENTO

Red de seguimiento:

Nº Puntos:	Densidad Espacial (por 100 km ²):	Periodo:
1	0,71	2007-2008

Frecuencia de medidas:	Organismo que opera la red:
Mensual	DGA

Origen de la información: Reporting de Marzo de 2007 para cumplimiento del Artículo 8 de la DMA.

Análisis de tendencias: Se observa un descenso de niveles piezométricos..

Evolución del llenado:

Características piezométricas:

Isopiezas	Año	Nº Puntos	Nivel piezométrico (m.s.n.m)		Diferencia (max-min) (m)	Rango de oscilación estacional (m)	Sentido de flujo	Gradiente (1)
			Max.	Min.				
De referencia	1984	2	474,30	410,00	64,30	8,6	De SO a NE	0,024%*
Recientes estiaje	2007							0,06%**
Recientes periodo húmedo	2007							0,06%**
De año seco	1994	1	385,50	385,40	0,10	0,1		
De año húmedo	1988	3	479,90	373,10	106,80	14,3		0,011%***

(1) Gradiente medio en el sentido del flujo principal

Origen de la información CHJ. Red de seguimiento piezométrico. IGME. Base de datos de Agua.

Observaciones: *Gradiente para el año 1977.
**Gradiente a partir de la piezometría de síntesis.
***Gradiente para el año 1987.

Estado/variación del almacenamiento:

Acuífero	Evolución

Origen información:

Origen de la información de piezometría:

Biblioteca	Cod. Biblioteca	Fecha	Título

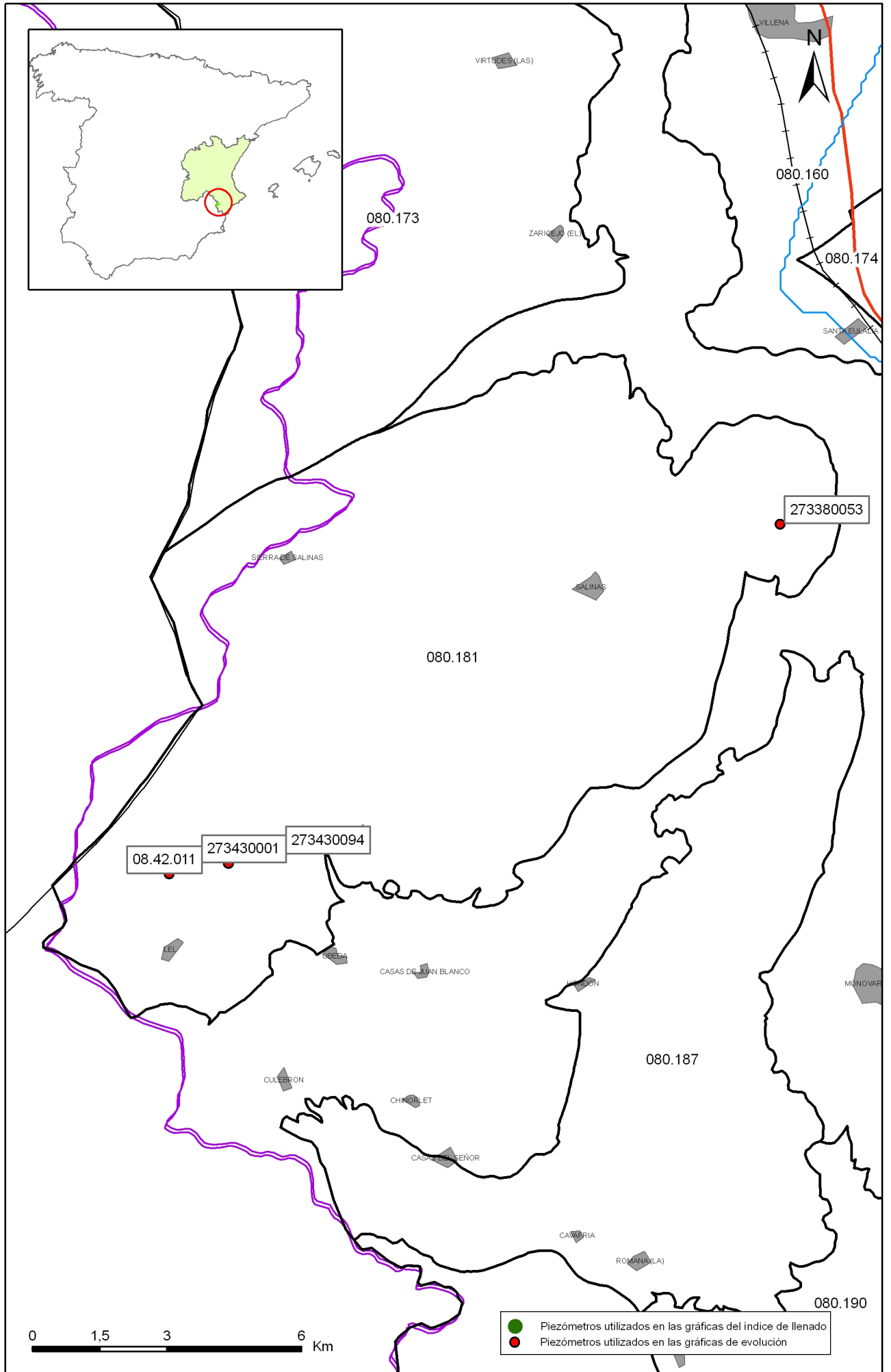
Información gráfica y adicional:

Gráficas de evolución piezométrica

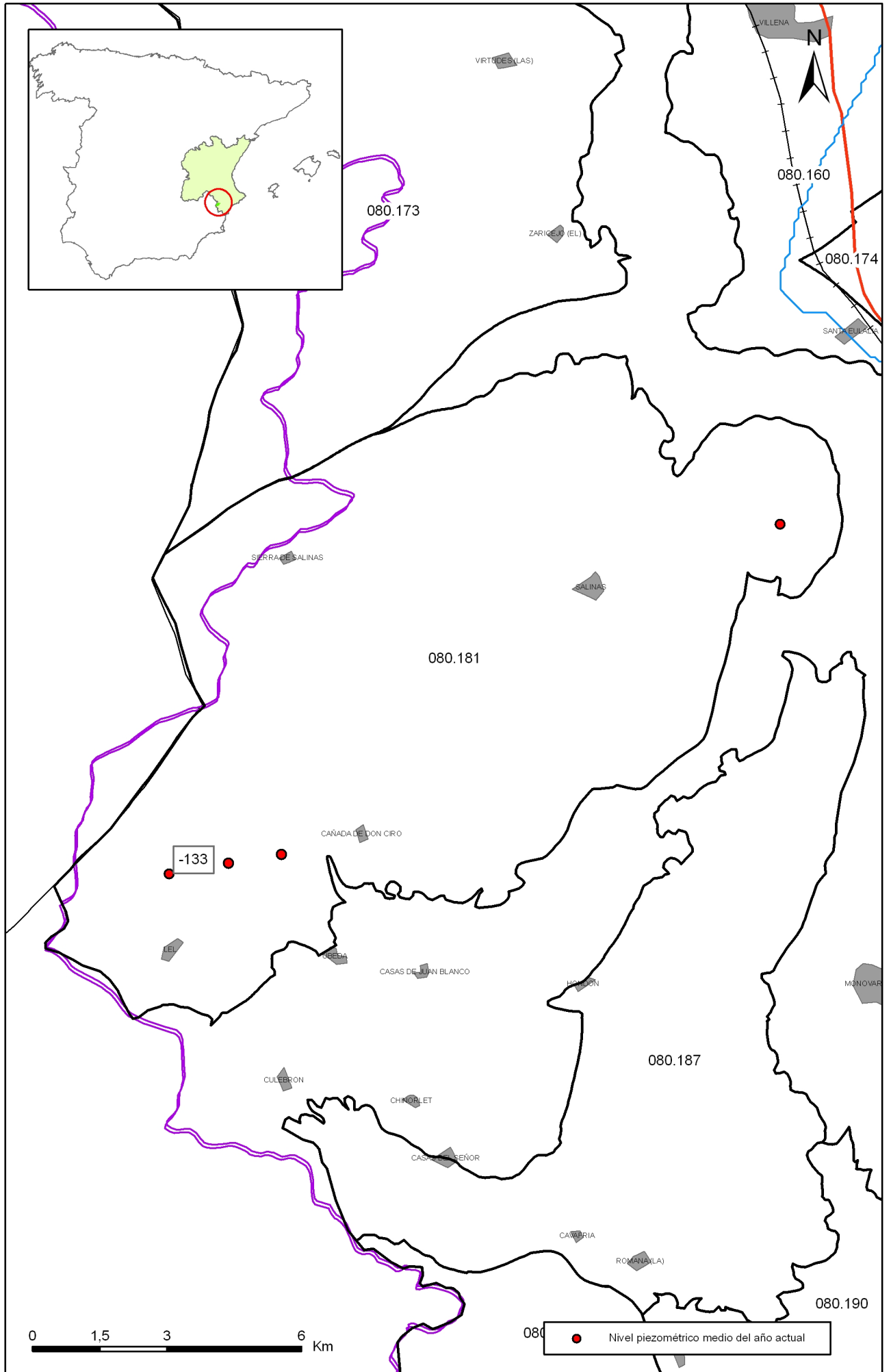
Mapas piezométricos o de isopiezas (referencia, actual, año húmedo, seco, etc.)

Otros mapas de isopiezas

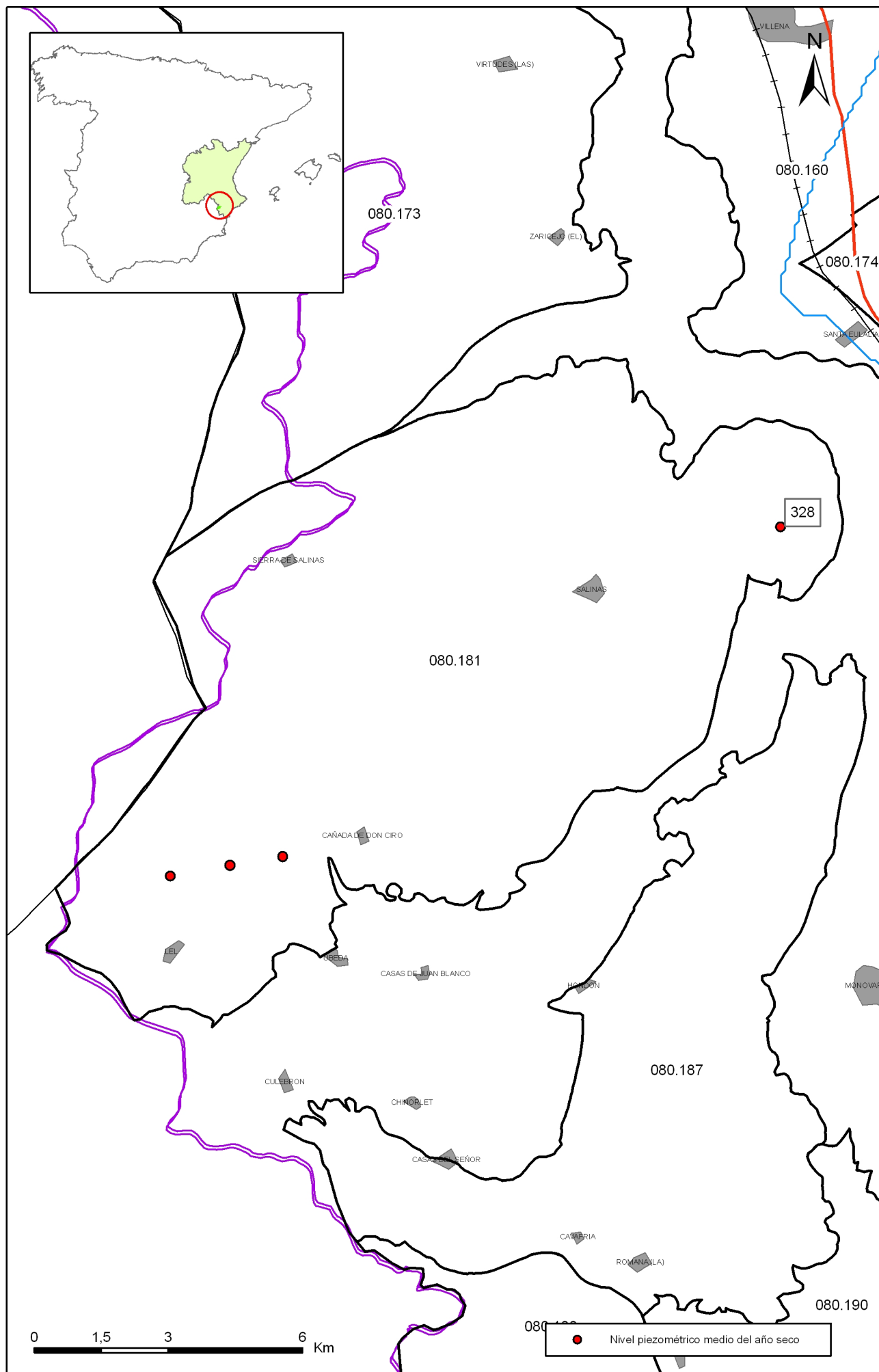
Gráficas de evolución del índice de llenado



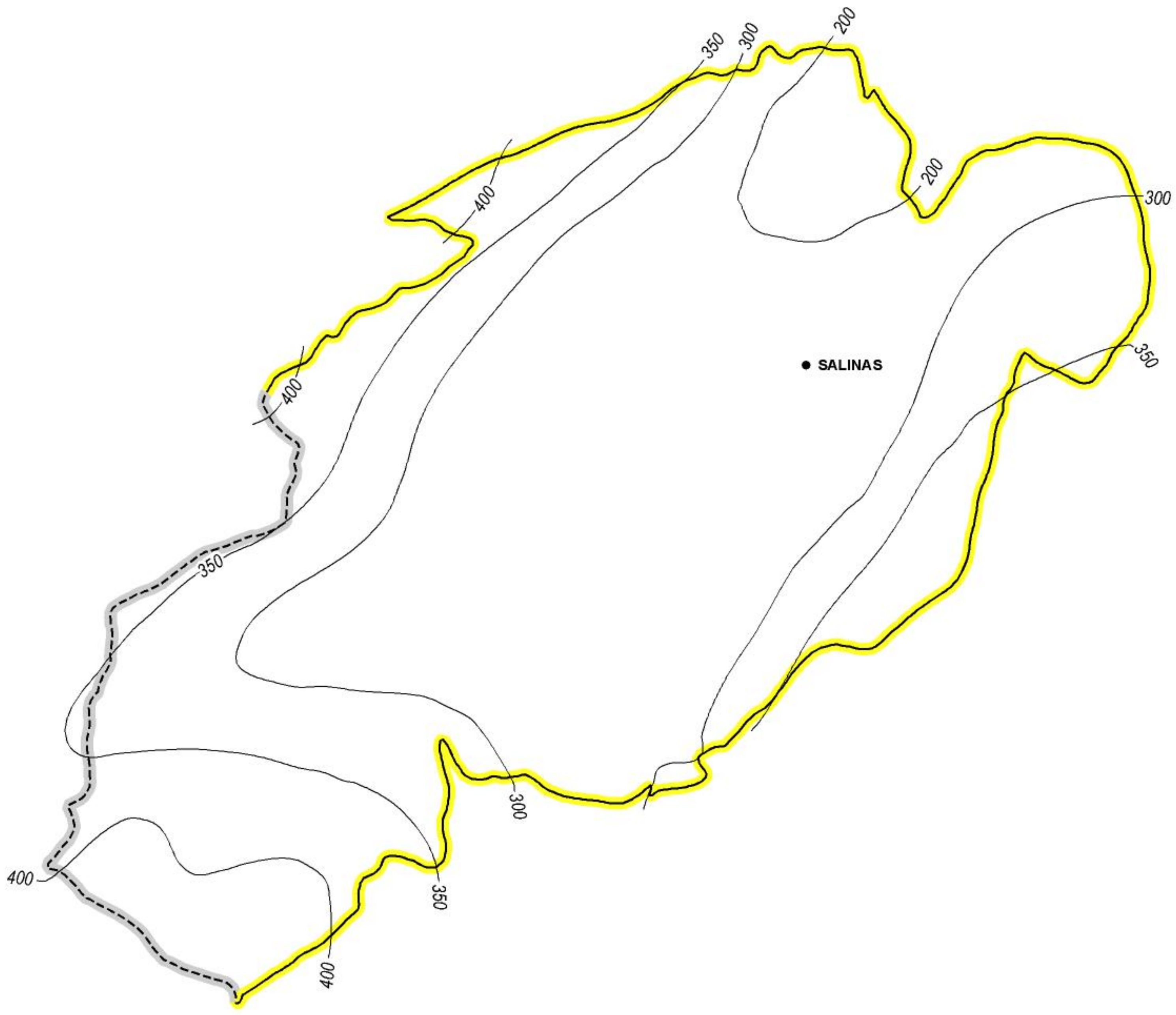
Mapa 5.1 Mapa de situación de piezómetros utilizados para la gráfica de evolución e índice de llenado de la masa Sierra de Salinas (080.181)



Mapa 5.2.b Mapa de puntos de información del nivel medio de agua del año actual de la masa Sierra de Salinas (080.181)

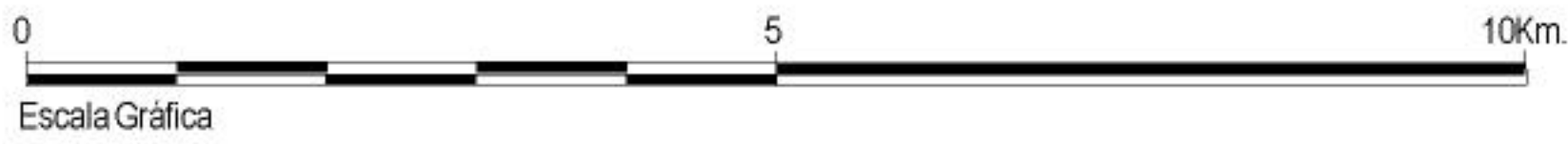


Mapa 5.2.d Mapa de puntos de información del nivel medio de agua del año seco de la masa Sierra de Salinas (080.181)



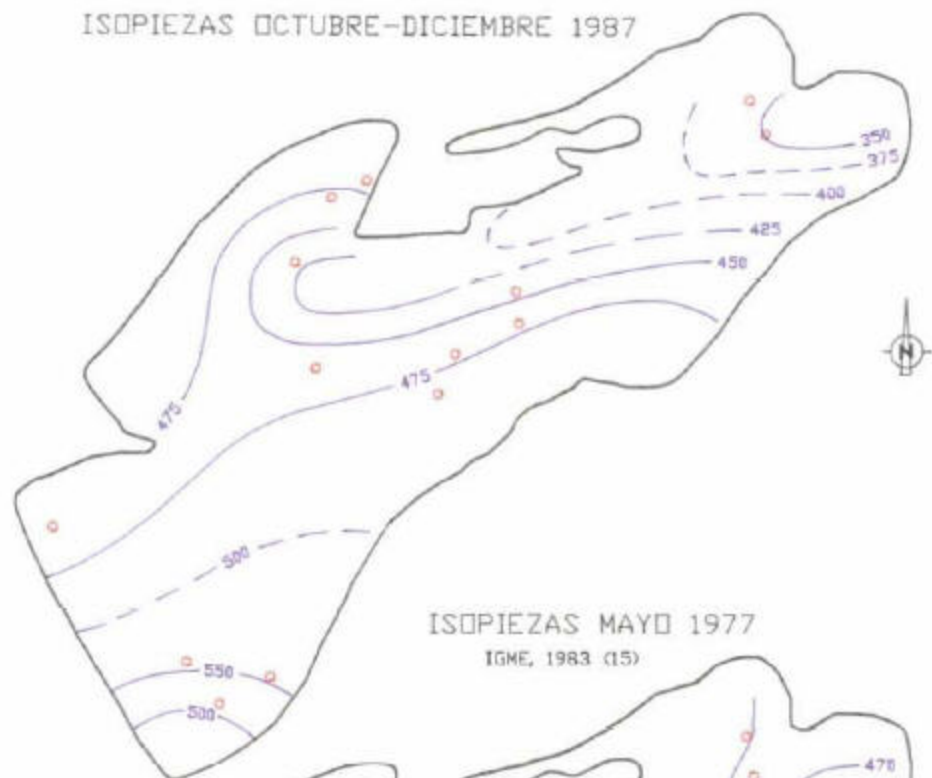
● SALINAS

-  LÍMITE ABIERTO
-  LÍMITE CERRADO



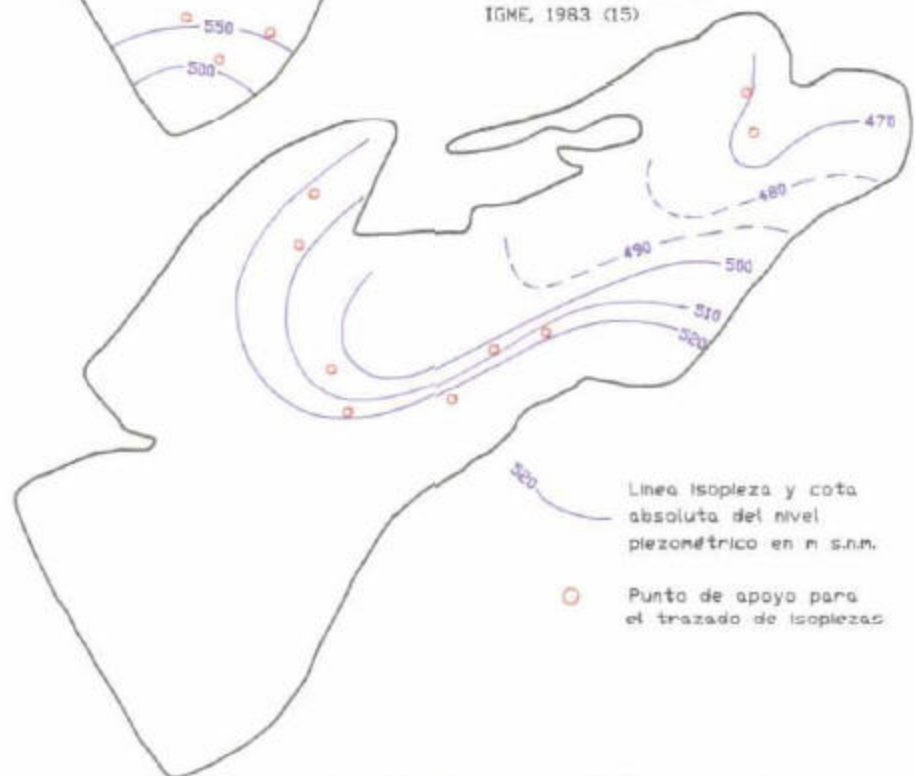
Escala Gráfica

ISOPIEZAS OCTUBRE-DICIEMBRE 1987



ISOPIEZAS MAYO 1977

IGME, 1983 (15)

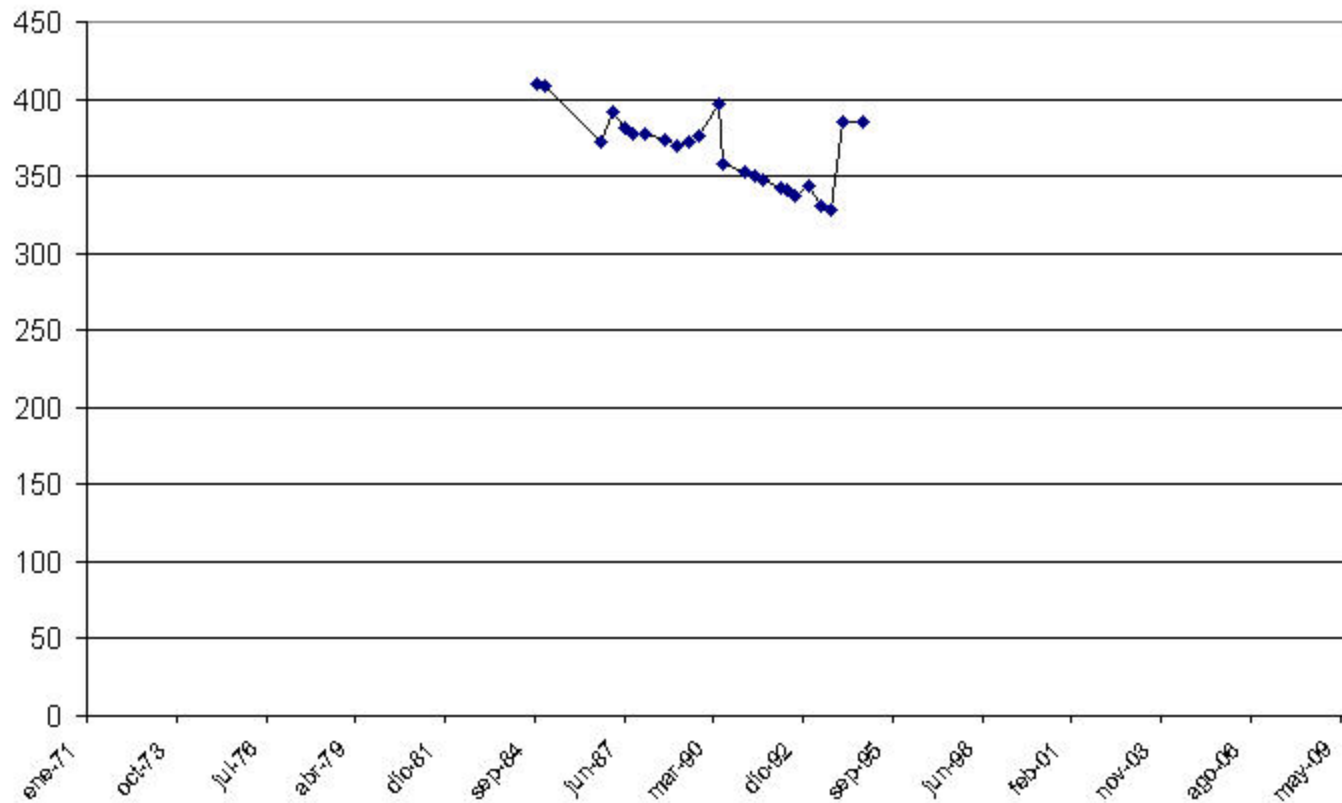


EVOLUCIÓN DE LA CIRCULACIÓN SUBTERRÁNEA
EN EL ACUÍFERO CARCHE-SALINAS

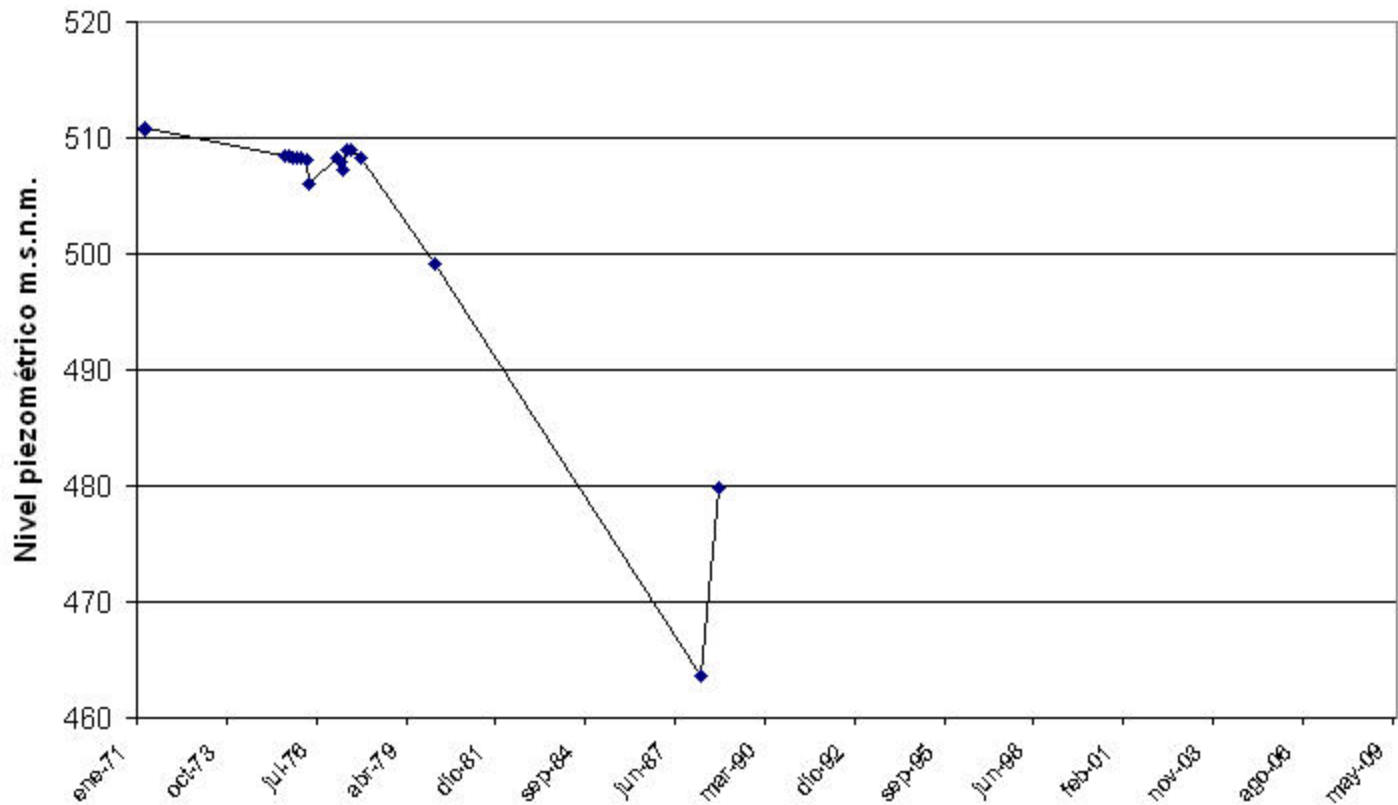
FIG. 16

PIEZÓMETRO 273380053

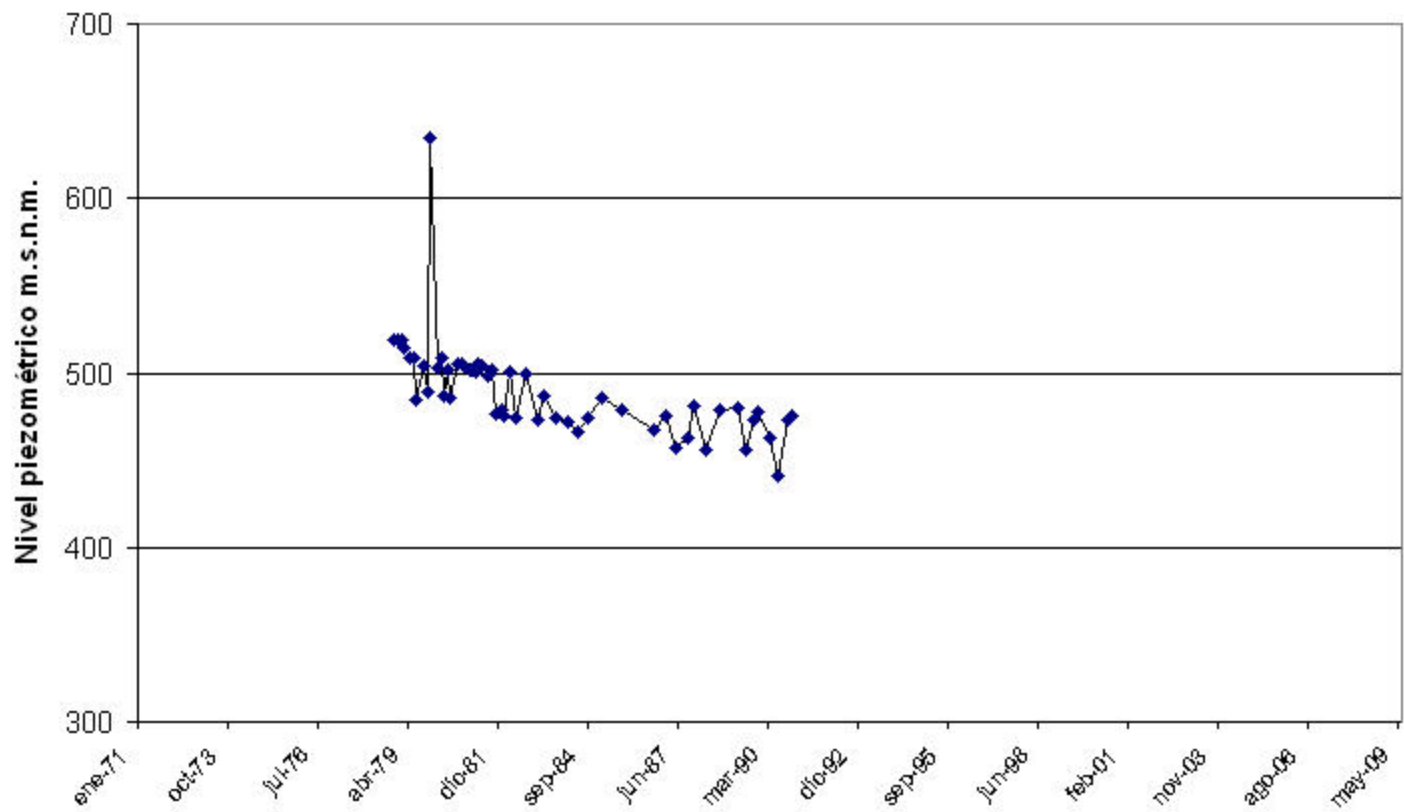
Nivel piezométrico m.s.n.m.



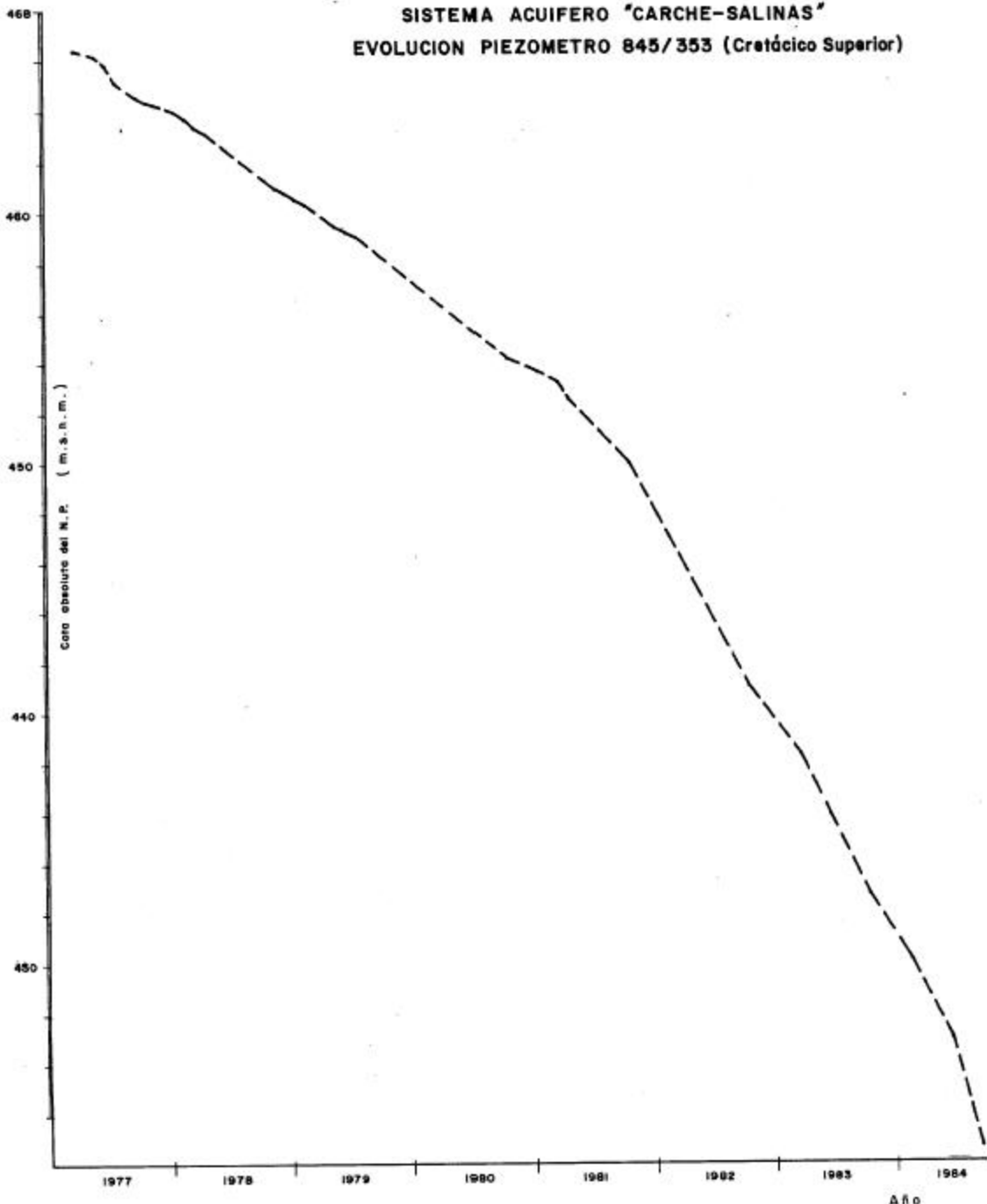
PIEZÓMETRO 273430001



PIEZÓMETRO 273430094



SISTEMA ACUIFERO "CARCHE-SALINAS"
EVOLUCION PIEZOMETRO 845/353 (Cretácico Superior)



6.- SISTEMAS DE SUPERFICIE ASOCIADOS Y ECOSISTEMAS DEPENDIENTES

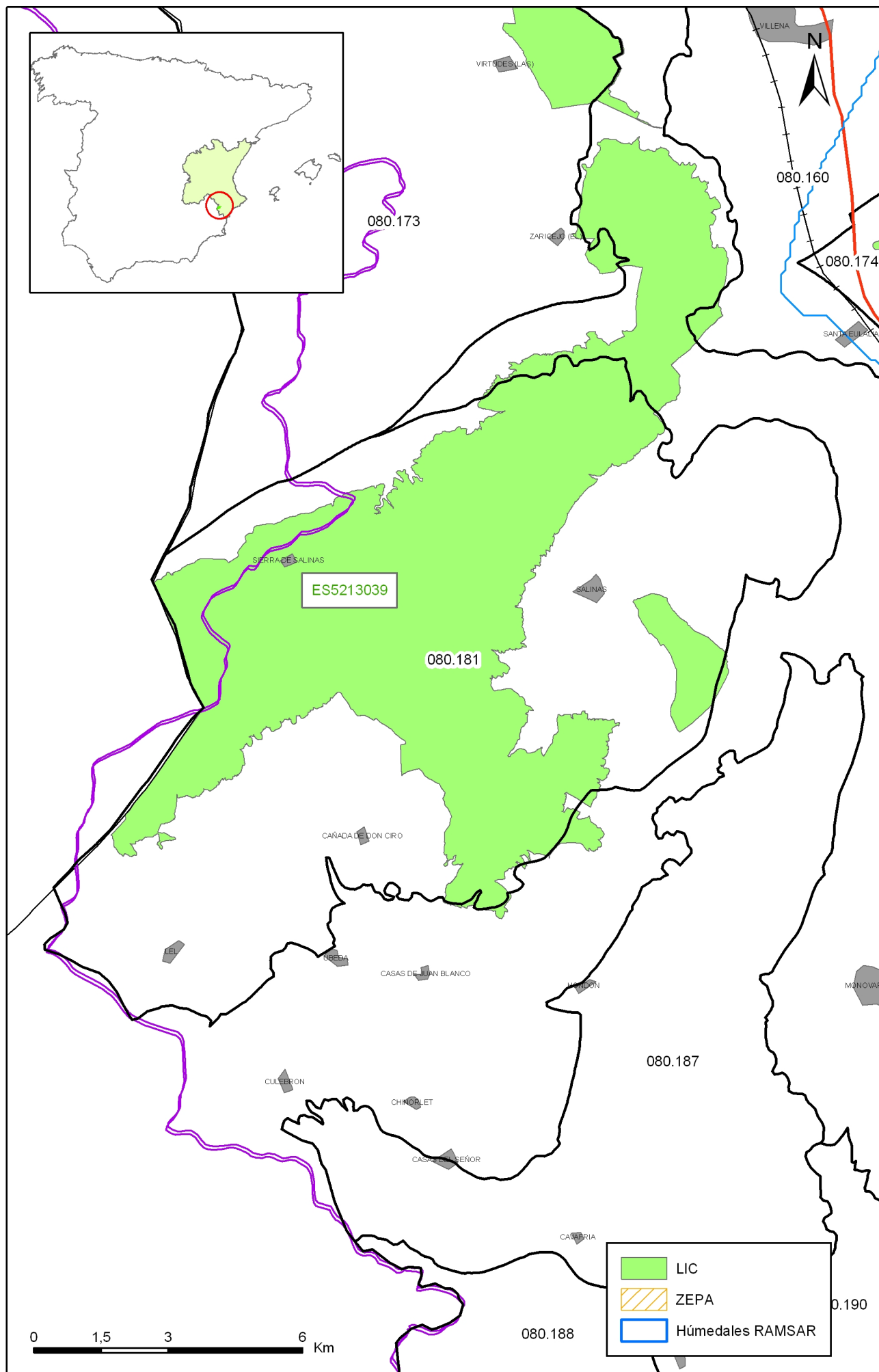
Tipo	Nombre	Código	Fecha o periodo	Zona de transferencia	Tasa de transferencia (hm ³ /año)	Observaciones
Ecosistemas terrestres	Sierra de Salinas	ES5213039				LIC
Zonas húmedas	Laguna de Salinas	ES5212006				LIC

Origen de la información de sistemas de superficie asociados:

Biblioteca	Cod. Biblioteca	Fecha	Título
MMA	ISBN: 84-498-0050-1	1994	Libro Blanco de las aguas subterráneas. Serie Monografías.

Información Gráfica:

- *Mapa de ecosistemas dependientes*



Mapa 6.1 Mapa de situación de ecosistemas dependientes de aguas subterráneas de la masa Sierra de Salinas (080.181)

7.-RECARGA

Componente	hm3/año	Periodo	Método de cálculo	Fuente de información
Infiltración de lluvia	1,8	1981-2005	PATRICAL	CHJ
Retorno de riego				
Recarga desde ríos, lagos y embalses				
Aportación lateral de otras masas				
Otros				
Tasa recarga (valor medio interanual)	1,8	1981-2005	PATRICAL	CHJ

Origen de la información de recarga:

Observaciones sobre la información de recarga:

Origen de la información de recarga:

Biblioteca	Cod. Biblioteca	Fecha	Título

Información gráfica:

- Mapa de áreas de recarga

8.-RECARGA ARTIFICIAL

Periodo de operación	Sistema de recarga	Volumen anual (hm3)	Origen agua de recarga	Composición química del agua de recarga

Origen de la información de recarga:

Biblioteca	Cod. Biblioteca	Fecha	Título

Información gráfica:

- Mapa de instalaciones de recarga

9.-EXPLOTACIÓN DE LAS AGUAS SUBTERRÁNEAS

Extracciones por bombeo:

Año	Aprovechamiento de agua subterránea según uso y volumen anual											
	Abastecimiento población		Agricultura y ganadería		Industria		Uso recreativo		Otros		TOTAL	
	nº	hm3	nº	hm3	nº	hm3	nº	hm3	nº	hm3	nº	hm3

Origen principal de la información:

Origen de la información de extracciones:

Biblioteca	Cod. Biblioteca	Fecha	Título

Derechos de uso inscritos:

Tipo de derecho	Aprovechamiento de agua subterránea según uso y volumen anual											
	Abastecimiento población		Agricultura y ganadería		Industria		Uso recreativo		Otros		TOTAL	
	nº	hm3	nº	hm3	nº	hm3	nº	hm3	nº	hm3	nº	hm3
En registro de Aguas (Sec. A y C)												
En catálogo Aprovech.												
< 7.000 m3/a												
Total												

Origen y fecha de la información:

10. CALIDAD QUÍMICA DE REFERENCIA

Niveles de referencia:

Parámetro	Nº estaciones / Nºmuestras	Valor del parámetro							Periodo	Observacion- es
		máximo	medio	mínimo	mediana	Perc. 25	Perc. 75	Perc. 90		
Temperatura (°C)	12/ 26	31,0	22,7	15,0	21,0	20,0	28,2	31,0	1.987/ 2.007	
pH (Ud. pH)	/								/	
Conductividad eléctrica a 20° C (µS/cm)	25/ 80	7.500	1.194	201	1.058	742	1.552	1.700	1.972/ 2.002	
O2 disuelto (mg /L)	/								/	
DQO (mg O2/L)	/								/	
Dureza Total CO3Ca (mg /L)	/								/	
Alcalinidad CO3Ca (mg /L)	/								/	
Bicarbonatos CO3Ca (mg /L)	/								/	
Sodio (mg/L)	/								/	
Potasio (mg/L)	/								/	
Calcio (mg/L)	/								/	
Magnesio (mg/L)	/								/	
Nitrato (mg/L)	19/ 82	29,0	6,9	2,0	5,0	4,0	8,0	14,0	1.977/ 2.007	
Arsénico (mg/L)	/								/	
Cadmio (mg/L)	10/ 18	0,01000	0,00000	0,00000	0,00000	0,00000	0,00000	0,00000	1991/ 2007	
Plomo (mg/L)	10/ 18	0,03000	0,00000	0,00000	0,00000	0,00000	0,00000	0,02000	1.991/ 2.007	
Mercurio (mg/L)	10/ 19	0,05000	0,00000	0,00000	0,00000	0,00000	0,00000	0,02000	1.990/ 2.007	El valor "Máxi
Amonio total (mg NH4/L)	14/ 60	0,3	0,0	0,0	0,0	0,0	0,1	0,1	1.984/ 2.002	
Cloruro (mg/L)	29/ 94	1.207,0	194,2	20,0	156,0	80,0	334,0	369,0	1.972/ 2.007	
Sulfato (mg/L)	28/ 93	1.880,0	96,9	4,0	56,0	35,0	98,0	162,0	1.972/ 2.007	
Aldrin	4/ 4	0,69000	0,17250	0,00000	0,00000	0,00000	0,69000	0,69000	1.997/ 1.997	
Endosulfán (suma isómeros alfa, beta y sulfato)	6/ 10	4,20000	0,83700	0,00000	0,00000	0,00000	0,00000	2,19000	1.997/ 2.007	
ETION	4/ 4	13,31	3,33	0,00	0,00	0,00	13,31	13,31	1.997/ 1.997	
Heptacloro	4/ 4	10,35	5,00	0,00	4,82	2,17	10,35	10,35	1.997/ 1.997	
Hexaclorociclohexano (HCH) (suma isómeros)	2/ 6	2,00000	0,33333	0,00000	0,00000	0,00000	0,00000	2,00000	2.003/ 2.007	
Malation	4/ 4	6,58000	1,64500	0,00000	0,00000	0,00000	6,58000	6,58000	1.997/ 1.997	
pp'-DDT	4/ 4	6,44000	1,61000	0,00000	0,00000	0,00000	6,44000	6,44000	1.997/ 1.997	

- Origen de la información:

Tratamiento estadístico realizado por el MMA. Base de datos de calidad del MMA 2008

Niveles básicos:

Parámetro	Nº estaciones / Nºmuestras	Valor del parámetro							Periodo	Observaciones
		máximo	medio	mínimo	mediana	Perc. 25	Perc. 75	Perc. 90		
Temperatura agua(°C)	/								/	
pH (Ud. pH)	/								/	
Conductividad eléctrica a 20° C (µS/cm)	/								/	
O2 disuelto (mg /L)	/								/	
DQO (mg O2/L)	/								/	
Dureza Total CO3Ca (mg /L)	/								/	
Alcalinidad CO3Ca (mg /L)	/								/	
Bicarbonatos CO3Ca (mg /L)	/								/	
Sodio (mg/L)	/								/	
Potasio (mg/L)	/								/	
Calcio (mg/L)	/								/	
Magnesio (mg/L)	/								/	
Nitrato (mg/L)	/								/	
Plaguicidas individuales(detallar) (mg/L)	/								/	
Total plaguicidas (µg/L)	/								/	
Arsénico (mg/L)	/								/	
Cadmio (mg/L)	/								/	
Plomo (mg/L)	/								/	
Mercurio (mg/L)	/								/	
Amonio(mgNH4/L)	/								/	
Cloruro (mg/L)	/								/	
Sulfato (mg/L)	/								/	
Tricloroetileno (µg/L)	/								/	
Tetracloroetileno (µg/L)	/								/	
	/								/	

- Origen de la información:

Estratificación del agua subterránea:

Rango de profundidad (m)	Nitrato (mg/L)	Conductividad eléctrica (mS/cm)	Temperatura (°C)	Contaminantes orgánicos (Detallar)	Otros (Detallar)
/					

Origen de la información:

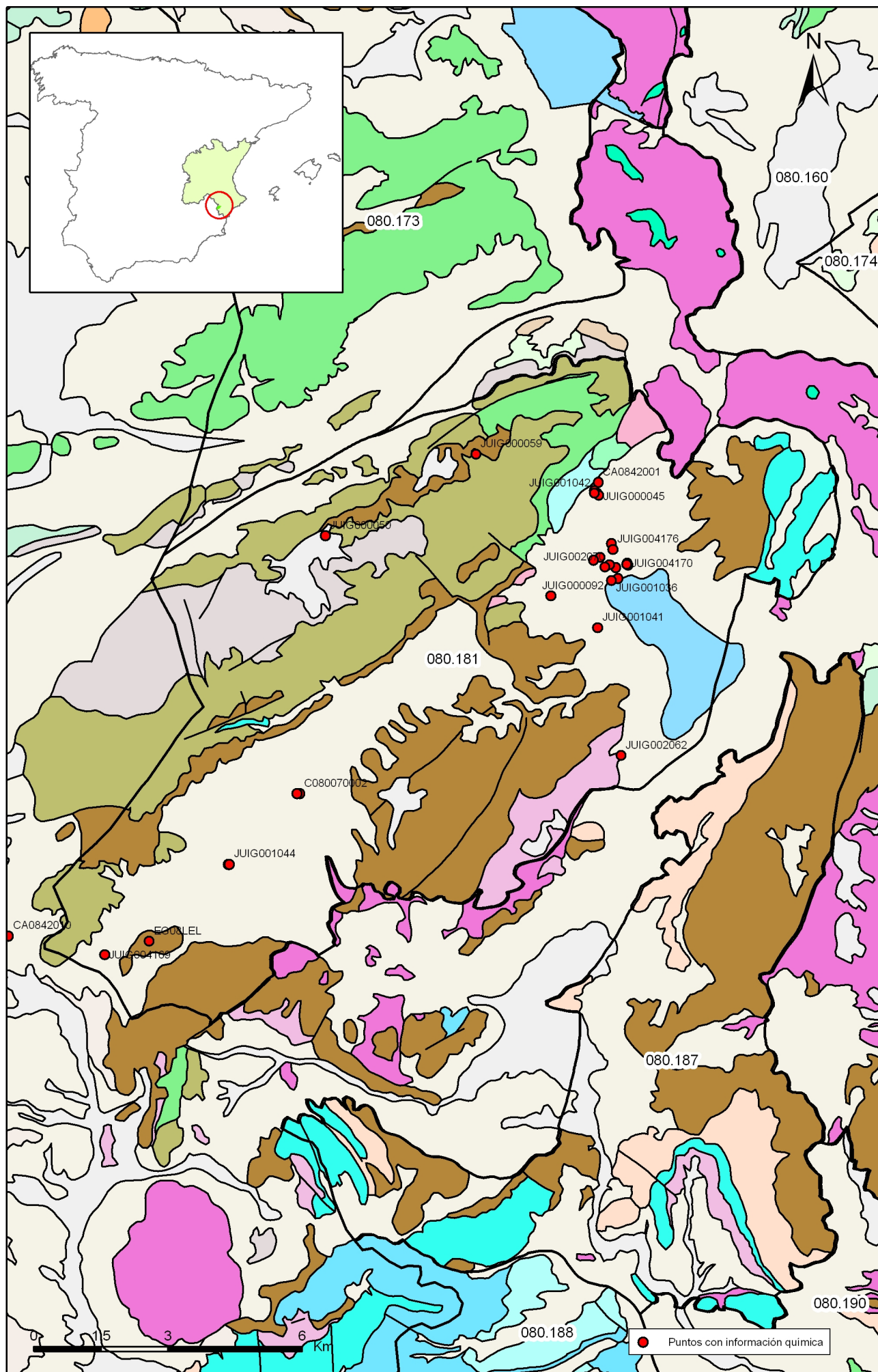
Biblioteca	Cod. Biblioteca	Fecha	Título

Información gráfica:

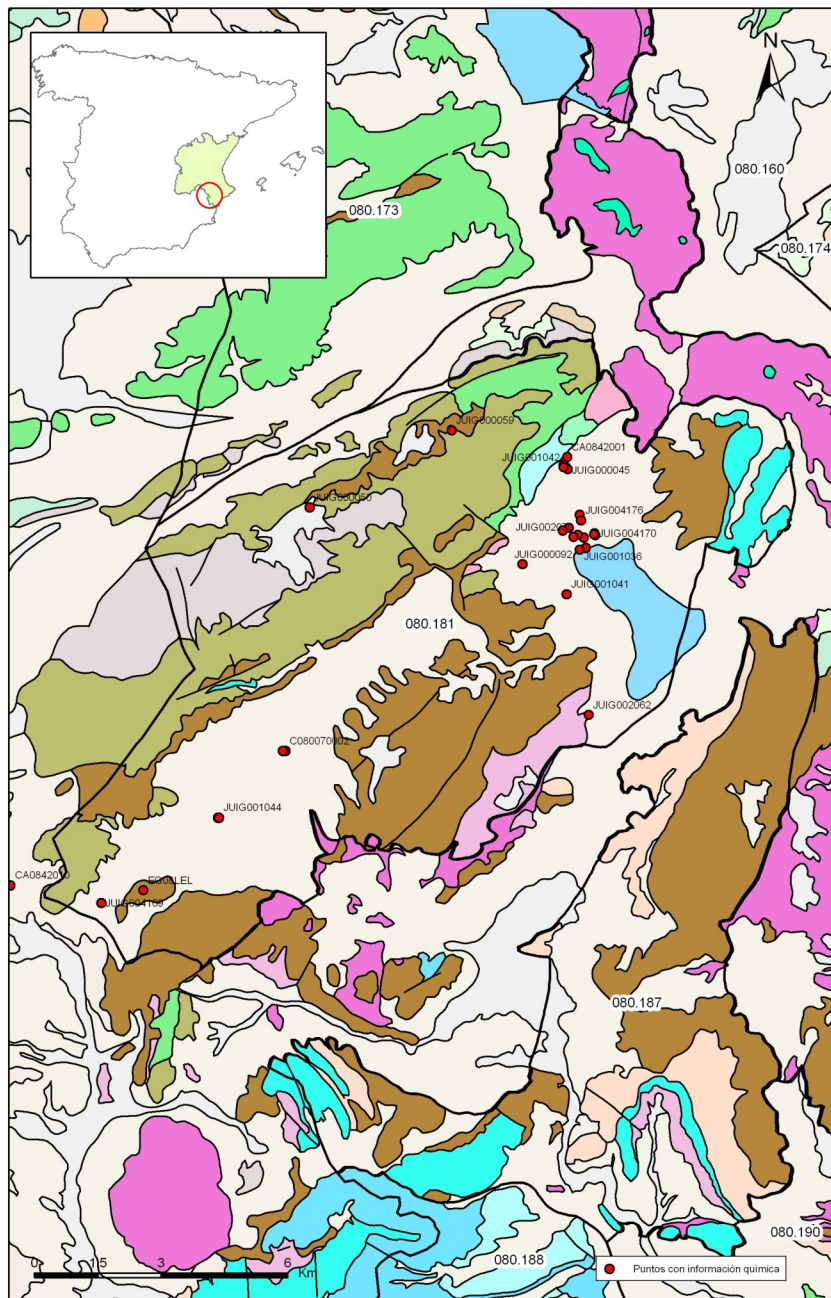
- Mapa de situación de estaciones para los niveles de referencia
- Calidad química de referencia (facies hidrogeoquímica)
- Calidad química de referencia (niveles de referencia)
- Gráficos de niveles de referencia

Observaciones:

La denominación y cuantificación -unidades en que se expresan y valor- de todos los parámetros químicos debe efectuarse siguiendo las directrices de la ORDEN MAM/3207/2006, de 25 de septiembre, por la que se aprueba la instrucción técnica complementaria MMA-EECC-1/06 sobre determinaciones químicas y microbiológicas para el análisis de las aguas.



Mapa 10.1 Mapa de situación de puntos en la determinación de niveles de referencia de la masa Sierra de Salinas (080.181)



Mapa 10.1 Mapa de situación de puntos en la determinación de niveles de referencia de la masa 080.181 Sierra de Salinas (080.181)

FACIES HIDROGEOQUÍMICAS DOMINANTES EN LA MASA DE AGUA SUBTERRÁNEA

	Cálcica	Magnésica	Sódica
Bicarbonatada			
Sulfatada			
Clorurada			

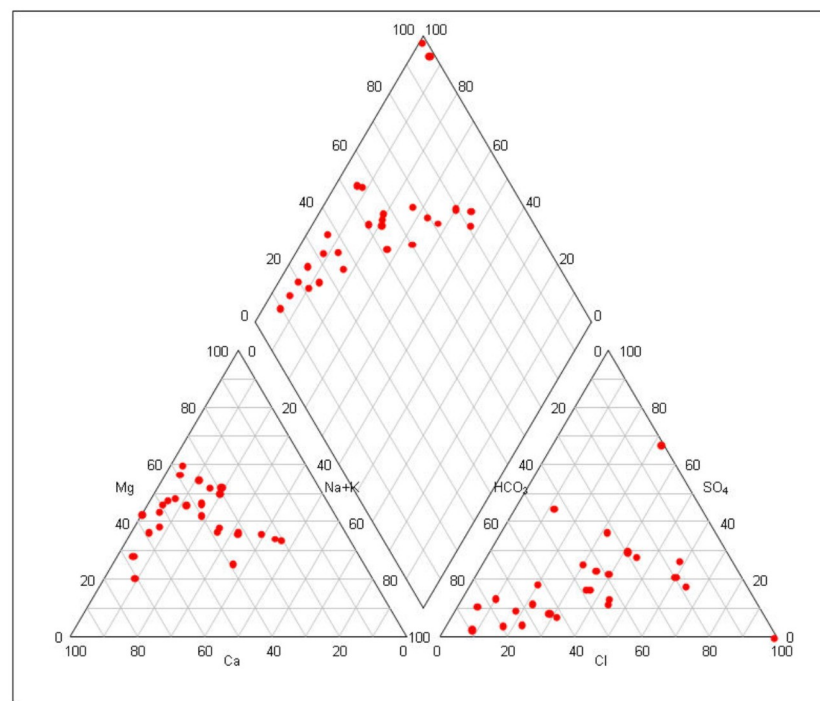
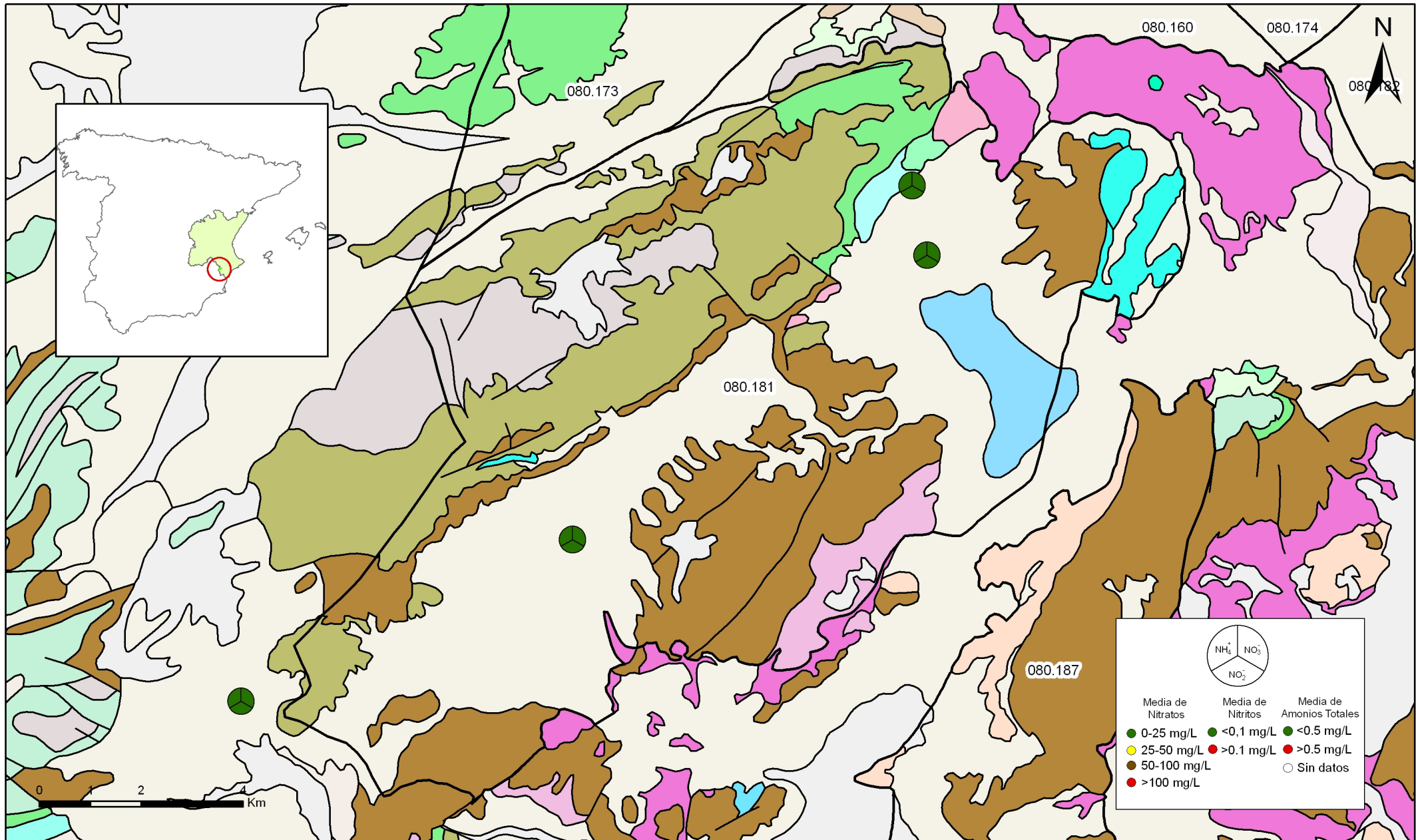
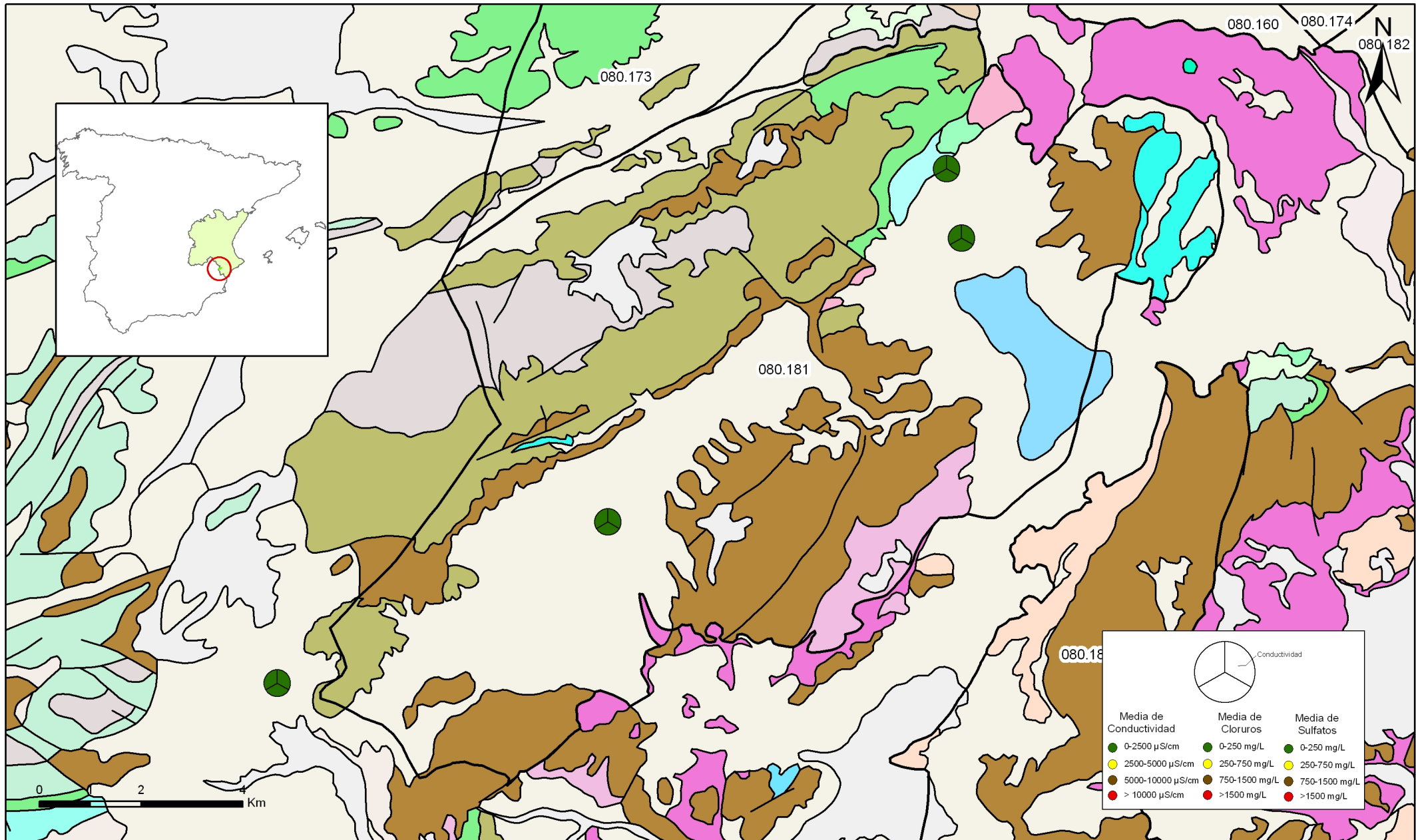


Diagrama de Piper

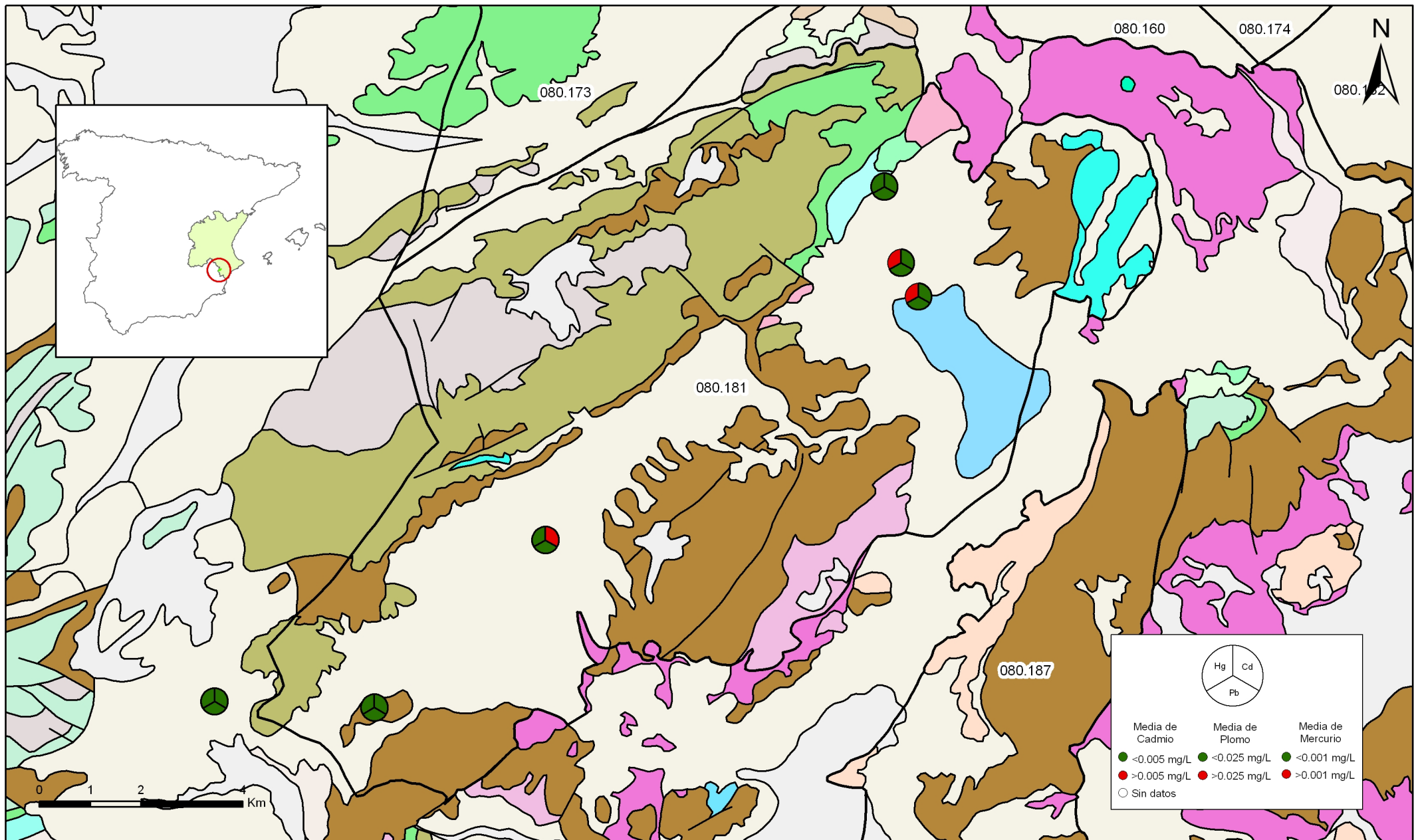
● Masa de agua 080.181



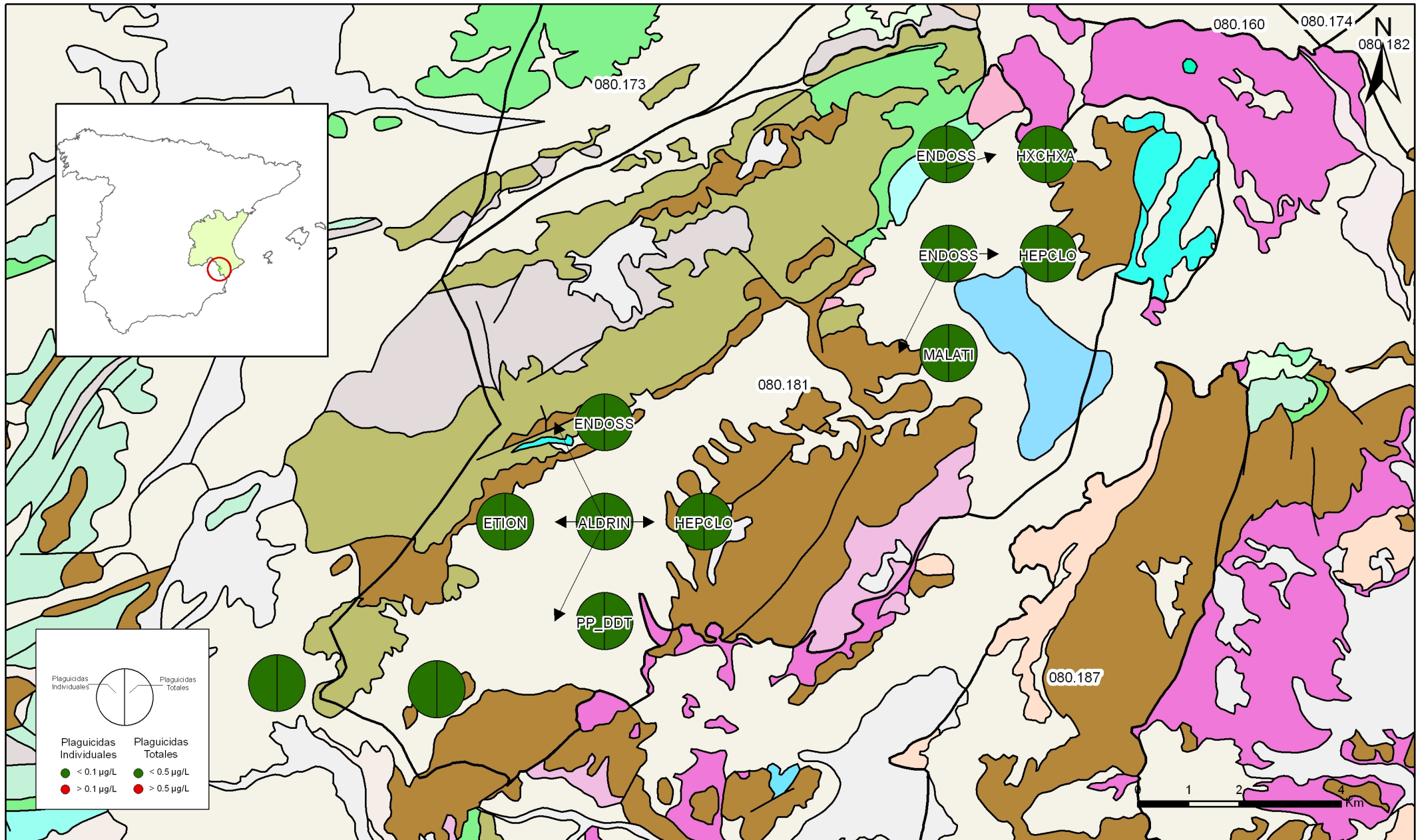
Mapa 10.3.1 Mapa de calidad química de referencia. Compuestos nitrogenados de la masa Sierra de Salinas (080.181)



Mapa 10.3.2 Mapa de calidad química de referencia. Conductividad, cloruros y sulfatos de la masa Sierra de Salinas (080.181)

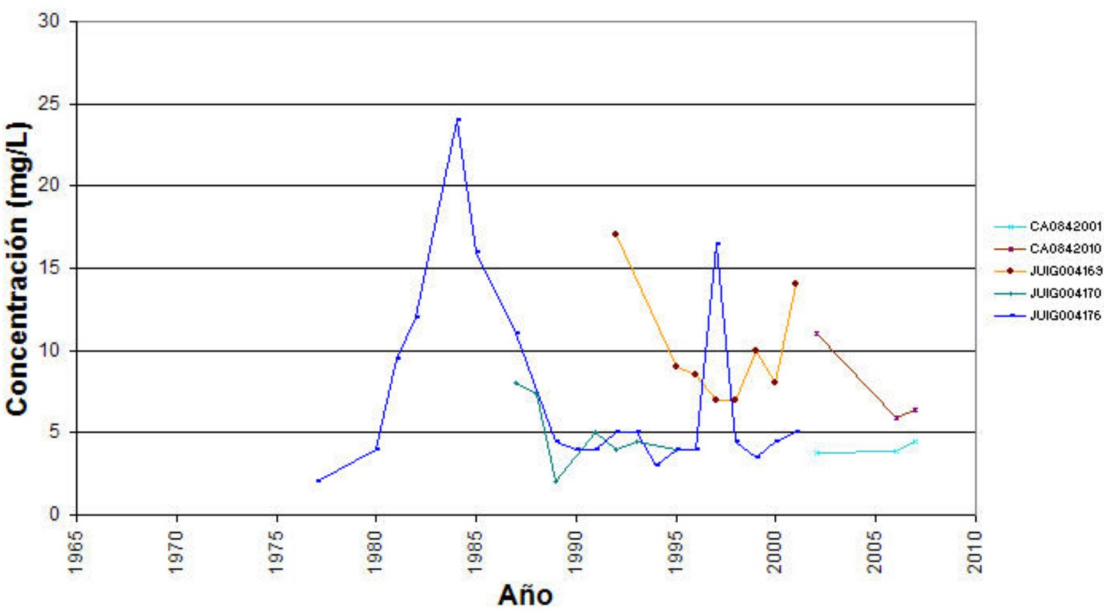


Mapa 10.3.3. Mapa de calidad química de referencia. Metales pesados de la masa Sierra de Salinas (080.181)

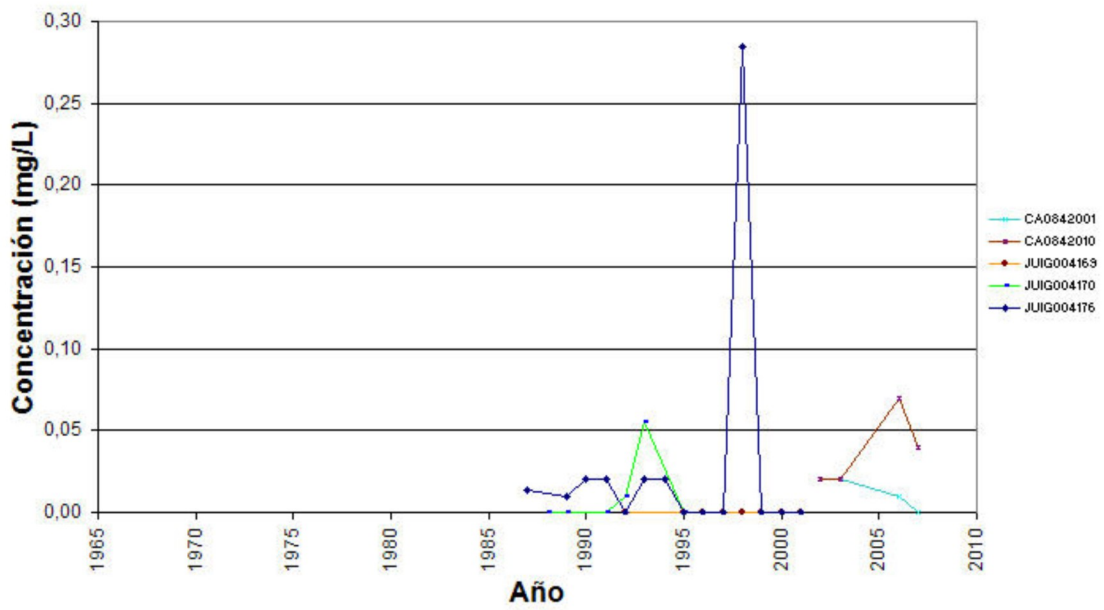


Mapa 10.3.4 Mapa de calidad química de referencia. Plaguicidas individuales y totales de la masa Sierra de Salinas (080.181)

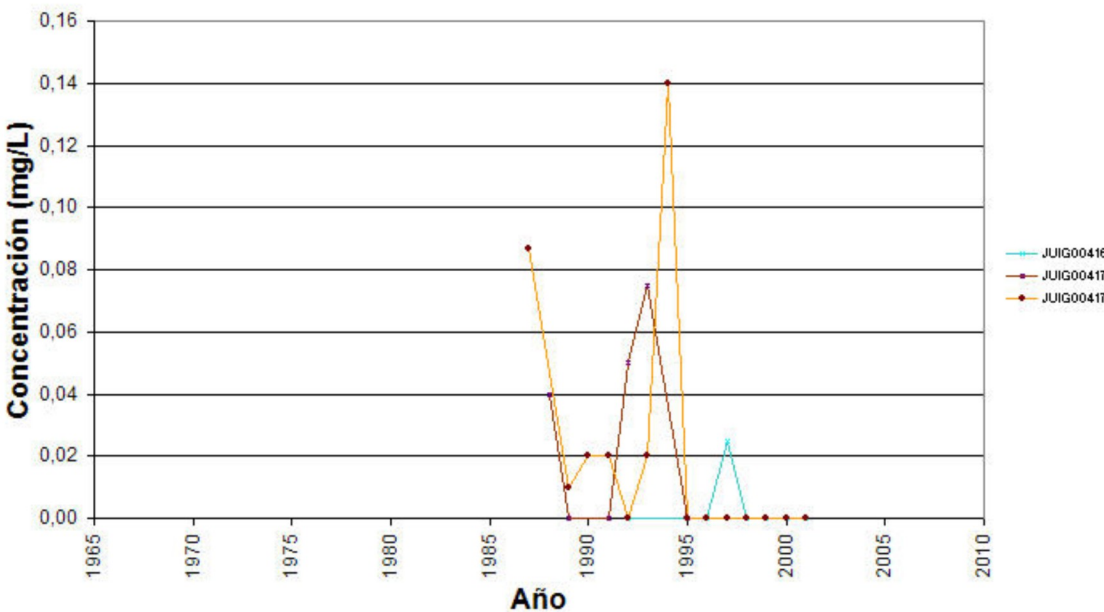
Nitratos



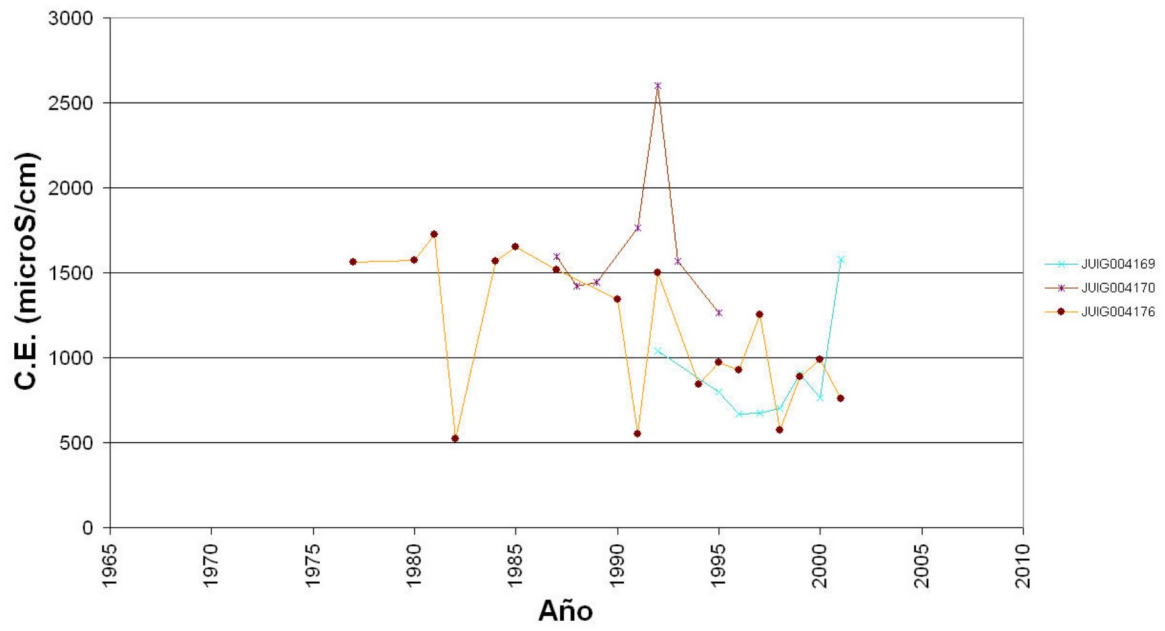
Nitritos



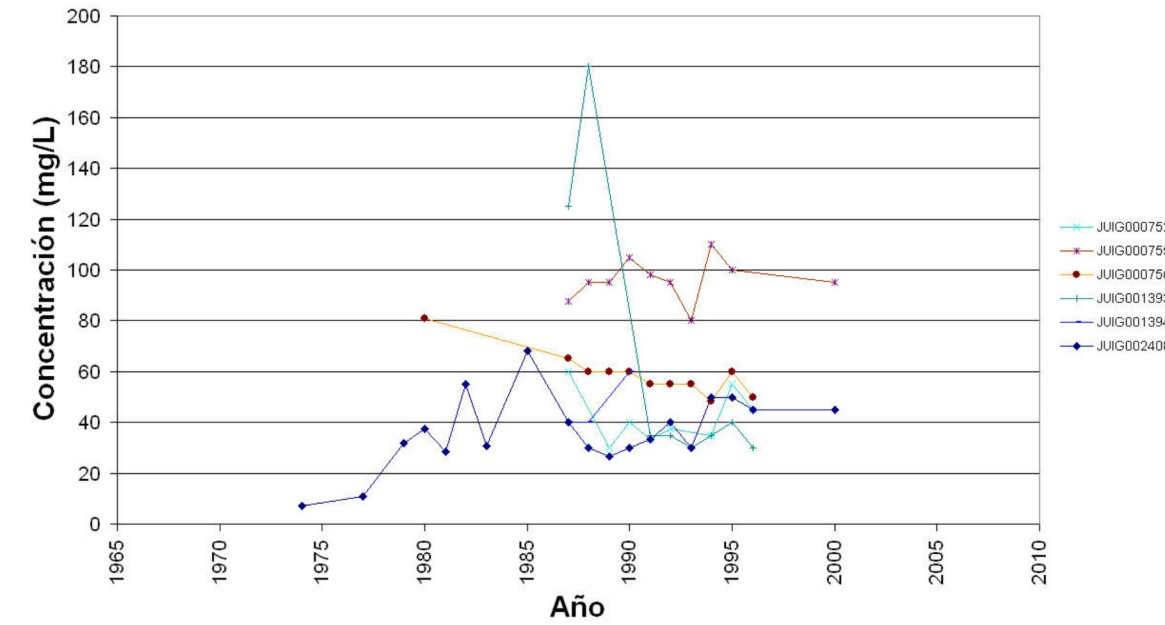
Amonio Total



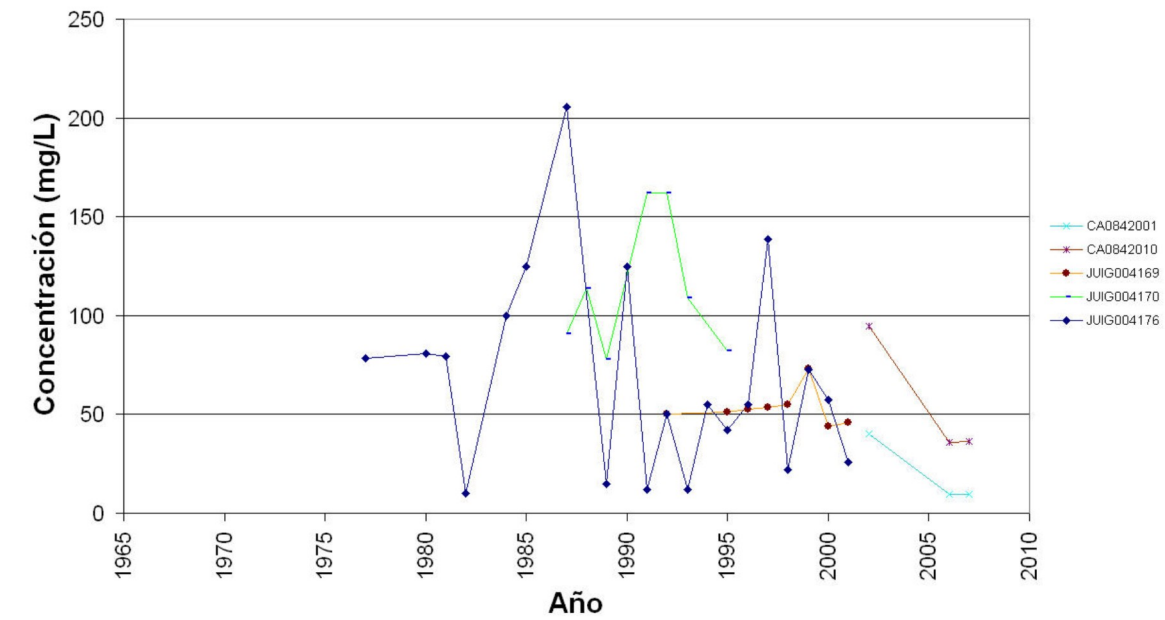
Conductividad



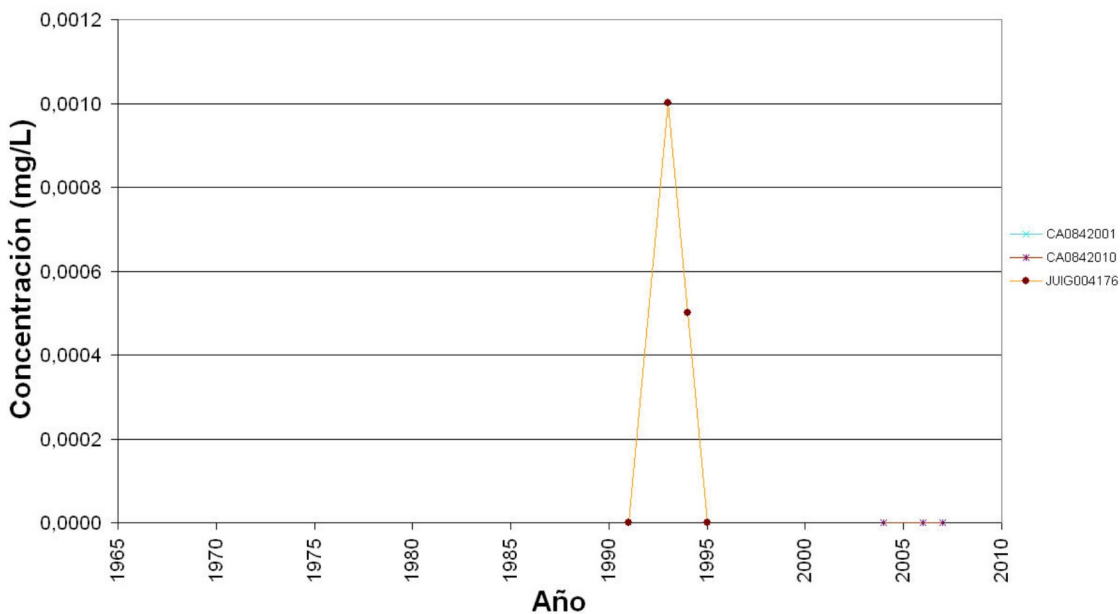
Cloruros



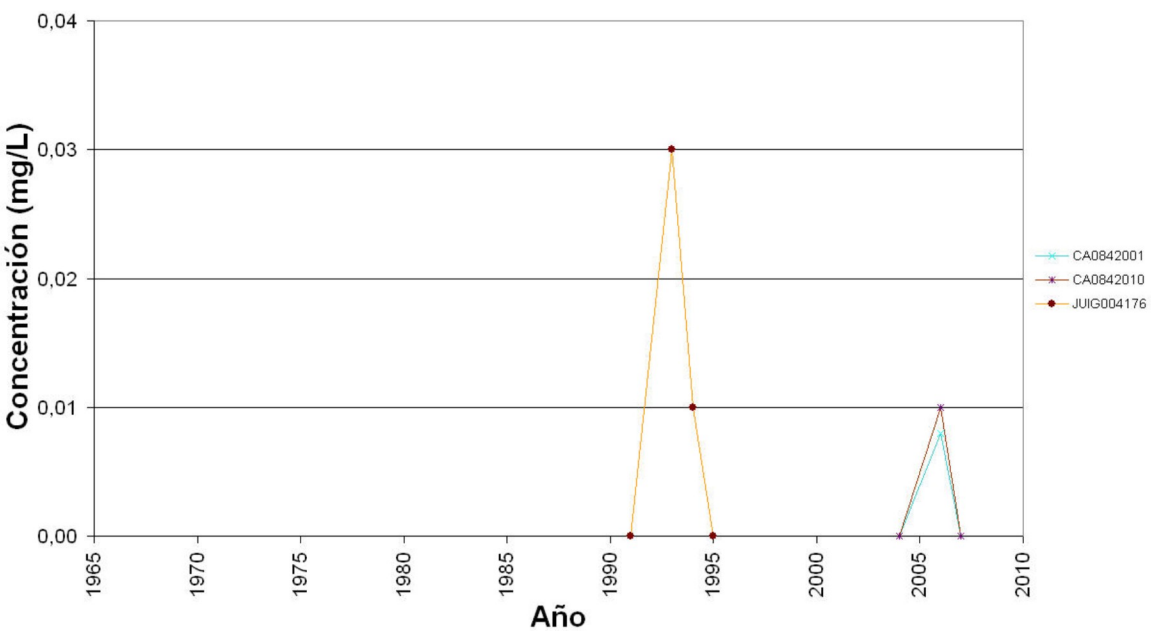
Sulfatos



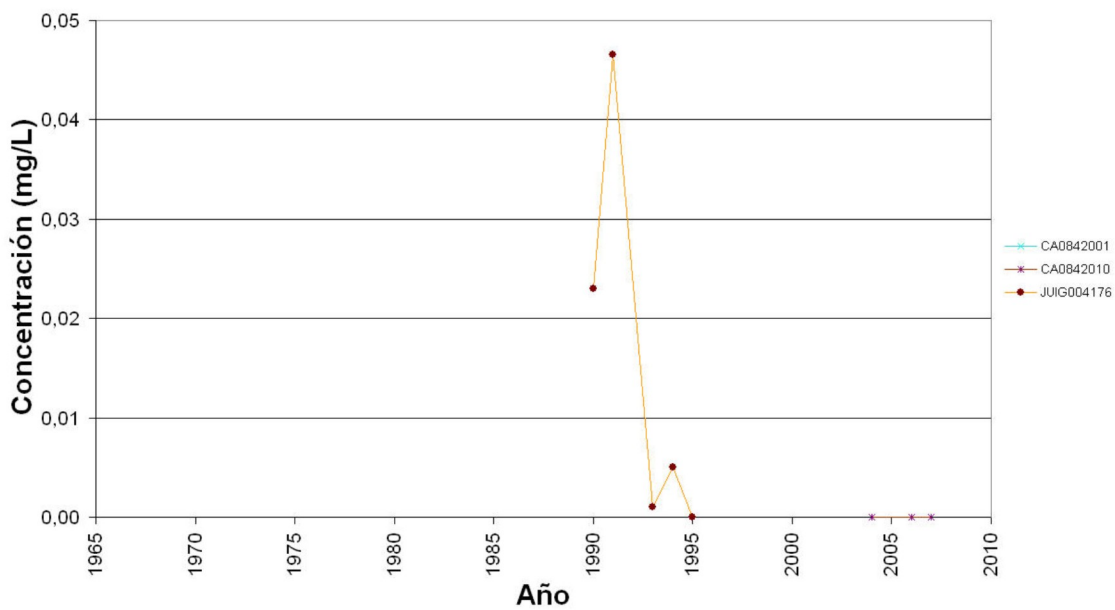
Cadmio



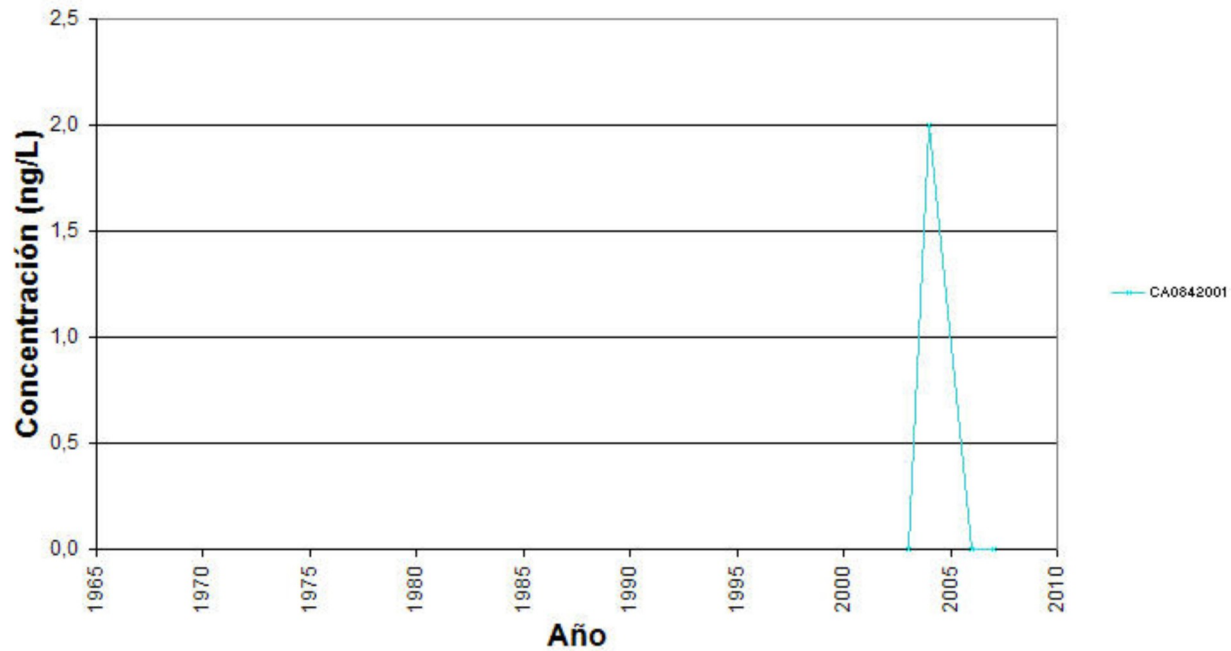
Plomo



Mercurio



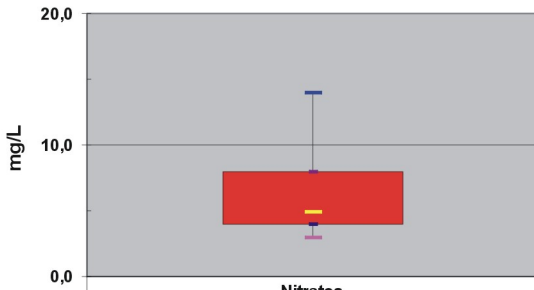
Plaguicidas totales



Niveles de referencia.

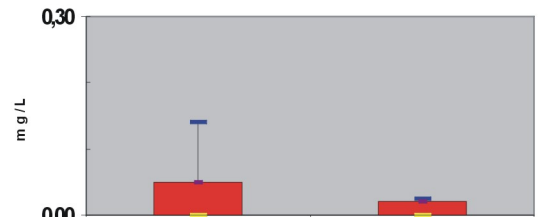
Diagramas de cajas. 080.181 Sierra de Salinas

Nitratos



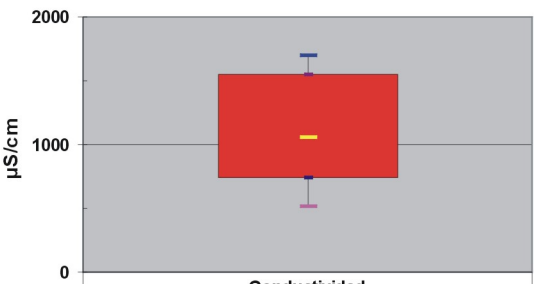
Nitratos	
- Q1	4
- perc. 10	3
- mediana	4,95
- perc. 90	14
- Q3	8

Amonio y nitritos



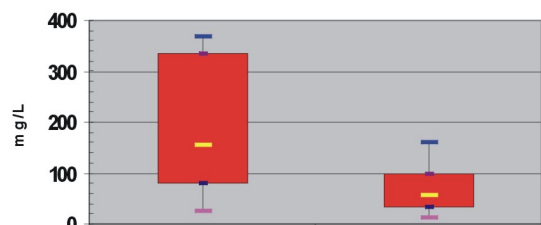
	Amonio	Nitritos
- Q1	0	0
- perc. 10	0	0
- mediana	0,14	0,025
- perc. 90	0,14	0,025
- Q3	5,00E-02	2,00E-02

Conductividad



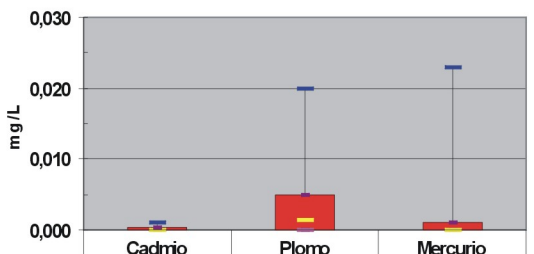
Conductividad	
- Q1	742
- perc. 10	520
- mediana	1057,5
- perc. 90	1700
- Q3	1552

Cloruros y sulfatos



	Cloruros	Sulfatos
- Q1	80	35
- perc. 10	25,20	12
- mediana	156	56
- perc. 90	369	162
- Q3	334	98

Metales: Cd,Pb,Hg.



	Cadmio	Plomo	Mercurio
- Q1	0	0	0
- perc. 10	0	0	0
- mediana	0	1,40E-03	0
- perc. 90	1,00E-03	2,00E-02	2,30E-02
- Q3	4,00E-04	5,00E-03	1,00E-03

Plaguicidas



	Plaguicidas individuales	Plaguicidas totales
- Q1	0,000	0,310
- perc. 10	0,000	0,000
- mediana	0,000	0,689
- perc. 90	6,580	5,937
- Q3	6,580	5,339

11.-EVALUACIÓN DEL ESTADO QUÍMICO

Normas de calidad:

Contaminante	Normas de calidad
Nitratos	50 mg/L
Sustancias activas de los plaguicidas, incluidos los metabolitos y los productos de degradación y reacción que sean pertinentes (1)	0,1 µg/L 0,5 µg/l (total) (2)

(1) Se entiende por «plaguicidas» los productos fitosanitarios y los biocidas definidos en el artículo 2 de la Directiva 91/414/CEE y el artículo 2 de la Directiva 98/8/CE, respectivamente.

(2) Se entiende por «total» la suma de todos los plaguicidas concretos detectados y cuantificados en el procedimiento de seguimiento, incluidos los productos de metabolización, los productos de degradación y los productos de reacción.

Valores umbral:

Contaminante	Valor umbral
Arsénico (mg/L)	
Cadmio (mg/L)	
Plomo (mg/L)	
Mercurio (mg/L)	
Amonio (mg /L)	
Cloruro (mg/L)	
Sulfato (mg/L)	
Tricloroetileno (mg/L)	
Tetracloroetileno (mg/L)	
Conductividad eléctrica a 20° C (µS/cm)	

Origen de la información:

Red de control operativo:

Nº de estaciones	Densidad espacial	Periodo	Frecuencia de medidas	Organismo Responsable

Origen de la información:

Evaluación del estado químico:

Parámetro	Nº estaciones / Nºmuestras	Valor del parámetro							Periodo	Observaciones
		máximo	medio	mínimo	mediana	Perc. 25	Perc. 75	Perc. 90		
Nitrato (mg/L)	/								/	
Plaguicidas individuales (detallar) (mg/L)	/								/	
Total plaguicidas (µg/L)	/								/	
Arsénico (mg/L)	/								/	
Cadmio (mg/L)	/								/	
Plomo (mg/L)	/								/	
Mercurio (mg/L)	/								/	
Amonio(mgNH4/L)	/								/	
Cloruro (mg/L)	/								/	
Sulfato (mg/L)	/								/	
Tricloroetileno (µg/L)	/								/	
Tetracloroetileno (µg/L)	/								/	
Conductividad eléctrica a 20° C (mS/cm)	/								/	
	/								/	

Origen de la información:

Biblioteca	Cod. Biblioteca	Fecha	Título

Información gráfica:

- Mapa de situación de las estaciones utilizadas en la evaluación del estado químico (red de control operativo).
- Mapas con los valores obtenidos en cada estación de la red de control operativo para los distintos parámetros utilizados en la evaluación del estado químico.
- Mapa de evaluación del estado químico de la masa de agua subterránea

Observaciones:

La denominación y cuantificación -unidades en que se expresan y valor- de todos los parámetros químicos debe efectuarse siguiendo las directrices de la ORDEN MAM/3207/2006, de 25 de septiembre, por la que se aprueba la instrucción técnica complementaria MMA-EECC-1/06 sobre

12. DETERMINACIÓN DE TENDENCIAS DE CONTAMINANTES

Determinación de tendencias y definición de puntos de partida de inversiones de tendencias:

Parámetro	Nº estaciones / Nºmuestras	Valor del parámetro							Periodo	Punto de partida de inversión de tendencia (% valor umbral)
		máximo	medio	mínimo	mediana	Perc. 25	Perc. 75	Perc. 90		
Nitrato (mg/L)	/								/	
Plaguicidas individuales (detallar) (mg/L)	/								/	
Total plaguicidas (µg/L)	/								/	
Arsénico (mg/L)	/								/	
Cadmio (mg/L)	/								/	
Plomo (mg/L)	/								/	
Mercurio (mg/L)	/								/	
Amonio(mgNH4/L)	/								/	
Cloruro (mg/L)	/								/	
Sulfato (mg/L)	/								/	
Tricloroetileno (µg/L)	/								/	
Tetracloroetileno (µg/L)	/								/	
Conductividad eléctrica a 20° C (mS/cm)	/								/	
	/								/	

(*) Para sustancias que se produzcan naturalmente y como resultado de actividades humanas se considerarán los niveles básicos (años 2007-2008) y, cuando se disponga de ellos, los datos recabados con anterioridad (Directiva 2006/118/CE, Anejo IV, parte A.3).

Origen de la información:

Biblioteca	Cod. Biblioteca	Fecha	Título

Información gráfica:

- Mapa de situación de las estaciones utilizadas en la determinación de tendencias.
- Mapas de tendencias para cada parámetro (contaminantes, grupos de contaminantes o indicadores de contaminación detectada).
- Gráficos de tendencias para cada parámetro (contaminantes, grupos de contaminantes o indicadores de contaminación detectada).

Observaciones:

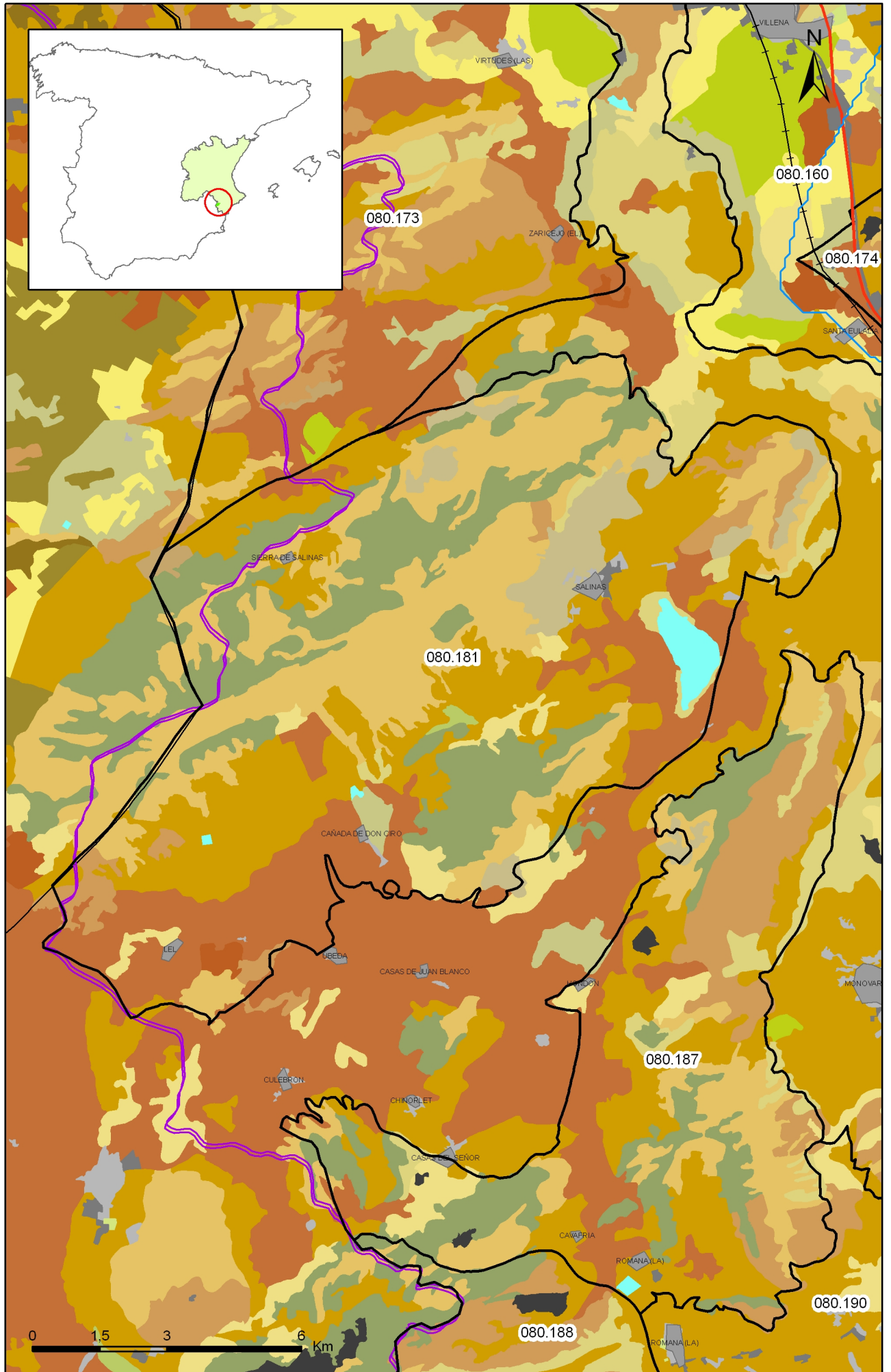
La denominación y cuantificación -unidades en que se expresan y valor- de todos los parámetros químicos debe efectuarse siguiendo las directrices de la ORDEN MAM/3207/2006, de 25 de septiembre, por la que se aprueba la instrucción técnica complementaria MMA-EECC-1/06 sobre determinaciones químicas y microbiológicas para el análisis de las aguas.

13.- USOS DEL SUELO

Actividad	Corine Land Cover 2000	
	Denominación	% en la masa
Aeropuertos	Aeropuertos	
Vías de transporte	Redes viarias, ferroviarias y terrenos asociados	
Zonas de regadío	Terrenos regados permanentemente	47
	Cultivos herbáceos en regadío	
	Otras zonas de irrigación	
	Arrozales	
	Viñedos en regadío	
	Frutales en regadío	
	Cítricos	
	Frutales tropicales	
	Otros frutales en regadío	
	Olivares en regadío	
	Cultivos anuales asociados con cultivos permanentes en regadío	
	Mosaico de cultivos en regadío	
	Mosaico de cultivos anuales con prados o praderas en regadío	
	Mosaico de cultivos permanentes en regadío	
	Mosaico de cultivos anuales con cultivos permanentes en regadío	
Mosaico de cultivos agrícolas en regadío con espacios significativos de vegetación natural		
Zonas de secano	Tierras de labor en secano	2,60
	Viñedos en secano	
	Frutales en secano	
	Olivares en secano	
	Cultivos anuales asociados con cultivos permanentes en secano	
	Mosaico de cultivos en secano	
	Mosaico de cultivos anuales con prados o praderas en secano	
	Mosaico de cultivos permanentes en secano	
	Mosaico de cultivos anuales con cultivos permanentes en secano.	
	Mosaico de cultivos mixtos en secano y regadío	
	Mosaico de cultivos agrícolas en secano con espacios significativos de vegetación natural	
Cultivos agrícolas con arbolado adhesionado		
Zonas quemadas	Zonas quemadas	
Zonas urbanas	Tejido urbano continuo	0,40
	Tejido urbano discontinuo	
	Estructura urbana abierta	
	Urbanizaciones exentas y/o ajardinadas	
	Zonas en construcción	
	Zonas verdes urbanas	
Zonas industriales	Industrias y comercio	
Zonas mineras	Zonas de extracción minera	
Zonas recreativas	Instalaciones deportivas y recreativas	1,20
	Campos de golf	
	Resto de instalaciones deportivas y recreativas	
Praderas	Prados y praderas, Mosaico de prados o praderas con espacios significativos de vegetación natural	48,40
	Pastizales, prados o praderas con arbolado adhesionado	

Información gráfica:

- Mapa de usos del suelo



Mapa 13.1 Mapa de usos del suelo de la masa Sierra de Salinas (080.181)

14.- FUENTES SIGNIFICATIVAS DE CONTAMINACIÓN

Fuentes puntuales	Nº de instalaciones	Magnitud	
		Umbral	Parámetro
Vertederos de residuos no peligrosos			
Vertederos de inertes			
Vertedero de residuos peligrosos			
Instalaciones de gestión de residuos			
Depuradoras de aguas residuales			
Lagunas de efluentes líquidos			
Vertido en pozos			
Fosas sépticas			
Vertidos autorizados urbanos	2		
Vertidos autorizados agrarios			
Vertidos autorizados industriales			
Estaciones de servicio (gasolineras)	1		
Industrias IPPC			
Efluentes térmicos (generación electricidad)			
Escombreras mineras			
Balsas mineras			
Agua de drenaje de minas			
Agua de lavado de minerales			
Explotaciones ganaderas			
Acuicultura			
Residuos de proceso industrias agropecuarias			

Tabla orientadora para caracterización de presiones procedentes de fuente puntual:

Tipo	Magnitud	
	Umbral	Parámetro
Vertidos urbanos	2.000 h -e	<ul style="list-style-type: none"> - Caudal ($m^3/año$; m^3/mes y $m^3/día$) - <u>Carga orgánica</u> (DQO, DBO, COT), compuestos fósforo y nitrógeno (mg/L y $g/año$)
Vertidos biodegradables	4.000 h -e	<ul style="list-style-type: none"> - Caudal ($m^3/año$; m^3/mes y $m^3/día$) - <u>Carga orgánica</u> (DQO, DBO, COT), compuestos fósforo y nitrógeno (mg/L y $g/año$)
Vertidos industriales de actividades IPPC	Ser actividad IPPC	<ul style="list-style-type: none"> - Caudal ($m^3/año$; m^3/mes y $m^3/día$) - Contaminantes autorizados (mg/L y $g/año$) - Sustancias prioritarias y otros contaminantes significativos (Anexo VIII de la DMA) (mg/L y $g/año$)
Residuos mineros y aguas de agotamiento de mina	100 L/seg	<ul style="list-style-type: none"> - Caudal ($m^3/año$; m^3/mes y $m^3/día$) - Naturaleza del sector de producción - <u>Sustancias prioritarias y otros contaminantes significativos</u> (Anexo VIII de la DMA) (mg/L y $g/año$)
Vertidos de sales	100 t/día TSD	<ul style="list-style-type: none"> - Caudal ($m^3/año$; m^3/mes y $m^3/día$) - Sales (mg/L y $g/año$) - <u>Sustancias prioritarias y otros contaminantes significativos</u> (Anexo VIII de la DMA) (mg/L y $g/año$)
Vertido térmicos	Producción 10 MW	<ul style="list-style-type: none"> - Caudal ($m^3/año$; m^3/mes y $m^3/día$) - Temperatura del vertido ($^{\circ}C$) - <u>Sustancias prioritarias y otros contaminantes significativos</u> (Anexo VIII de la DMA) (mg/L y $g/año$)
Vertederos de residuos no peligrosos	Población 10.000 h.	<ul style="list-style-type: none"> - <u>Caudal lixiviado</u> - Sustancias prioritarias y otros contaminantes significativos (Anexo VIII de la DMA) (mg/L y $g/año$)
Vertederos de residuos peligrosos	Vertido de residuos peligrosos	<ul style="list-style-type: none"> - <u>Caudal lixiviado</u> - Sustancias prioritarias y otros contaminantes significativos (Anexo VIII de la DMA) (mg/L y $g/año$)
Vertederos de residuos no peligrosos	Existe evidencia de presión	<ul style="list-style-type: none"> - <u>Caudal lixiviado</u> - <u>Carga orgánica</u> (DQO, DBO, COT). - Compuestos de Nitrógeno y Fósforo - <u>Sustancias prioritarias y otros contaminantes significativos</u> (Anexo VIII de la DMA) (mg/L y $g/año$)
Gasolineras	Año de construcción	<ul style="list-style-type: none"> - <u>Derivados del petróleo</u> - Sustancias prioritarias y otros contaminantes significativos (Anexo VIII de la DMA)

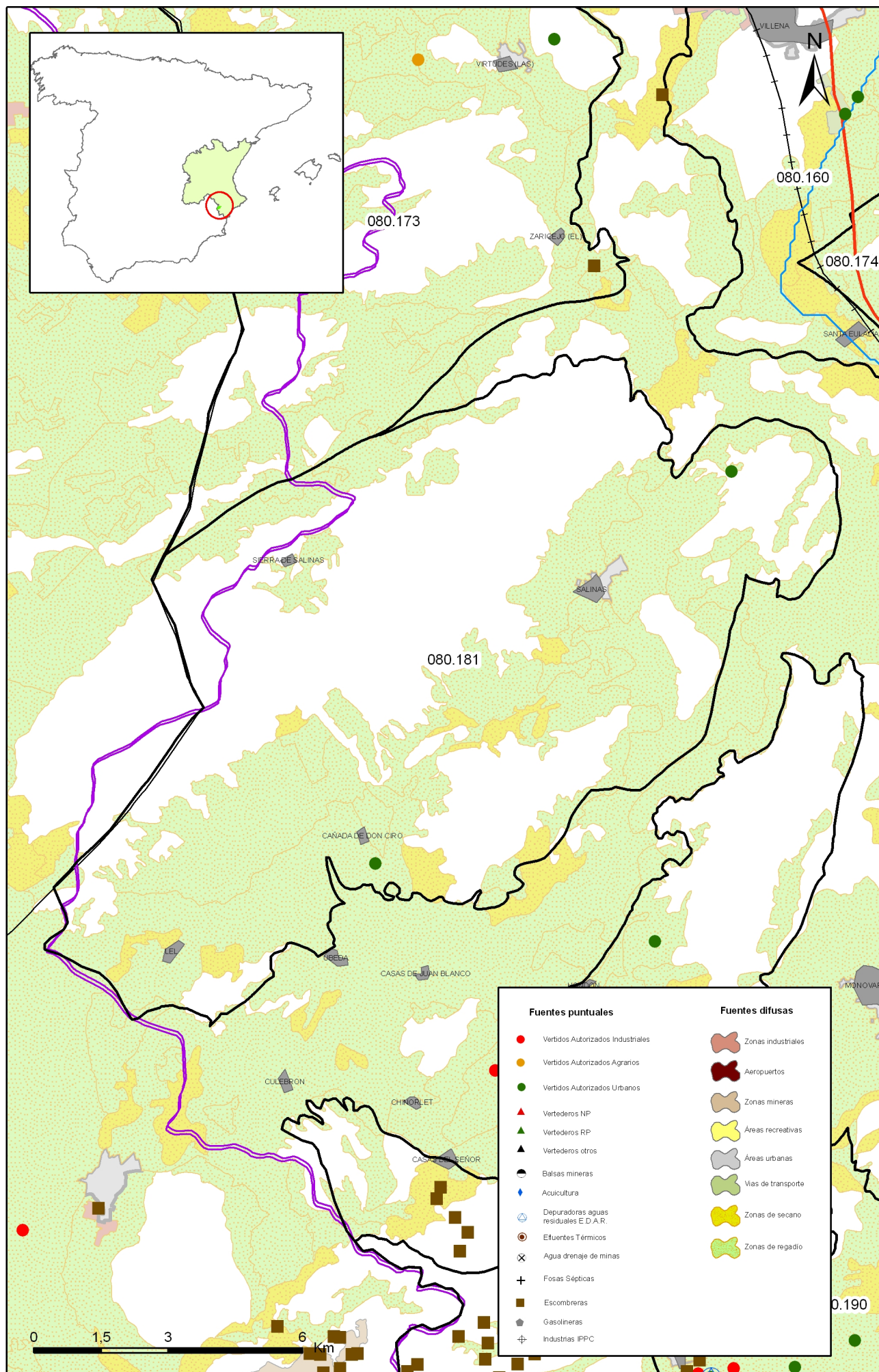
Tabla orientadora para caracterización de presiones procedentes de fuentes difusas:

Fuentes difusas	Superficie ocupada (ha)	Umbral % ocupado de la masa
Aeropuertos (1)		
Vías de transporte (1)		
Suelos contaminados (2)		
Infraestructura industria del petróleo (1)		
Áreas urbanas (2)	57,00	0,40
Zonas mineras (3)		
Áreas recreativas (6)	170,00	1,20
Zonas de regadío (4)	6.669,00	47,10
Zonas de secano (4)	368,00	2,60
Zonas de ganadería extensiva (5)		

- (1) PAHs,,hidrocarburos. Sustancias prioritarias y otros contaminantes significativos (Anexo VIII de la DMA) (mg/L y g/año)
- (2) Sustancias prioritarias y otros contaminantes significativos (Anexo VIII de la DMA) (mg/L y g/año).
- (3) Elementos y compuestos en función de la naturaleza de la explotación. Sustancias prioritarias y otros contaminantes significativos (Anexo VIII de la DMA) (mg/L y g/año)
- (4) PO4, P total, NO3, NH3, N total. Plaguicidas
- (5) N° de cabezas /ha Carga orgánica (DQO,DBO, COT) NO3, NH3, N total
- (6) Carga orgánica (DQO,DBO, COT), compuestos de fósforo y nitrógeno (mg/L y g/año), plaguicidas Sustancias prioritarias y otros contaminantes significativos (Anexo VIII de la DMA) (mg/L y g/año)

Información gráfica:

- Mapa de situación de actividades potencialmente contaminantes



Mapa 14.1 Mapa de actividades potencialmente contaminantes de la masa Sierra de Salinas (080.181)

15.- OTRAS PRESIONES

Actividad	Identificación	Localización	Descripción y efecto en la masa de agua subterránea
Modificaciones morfológicas de cursos fluviales			
Sobreexplotación en zona costera			

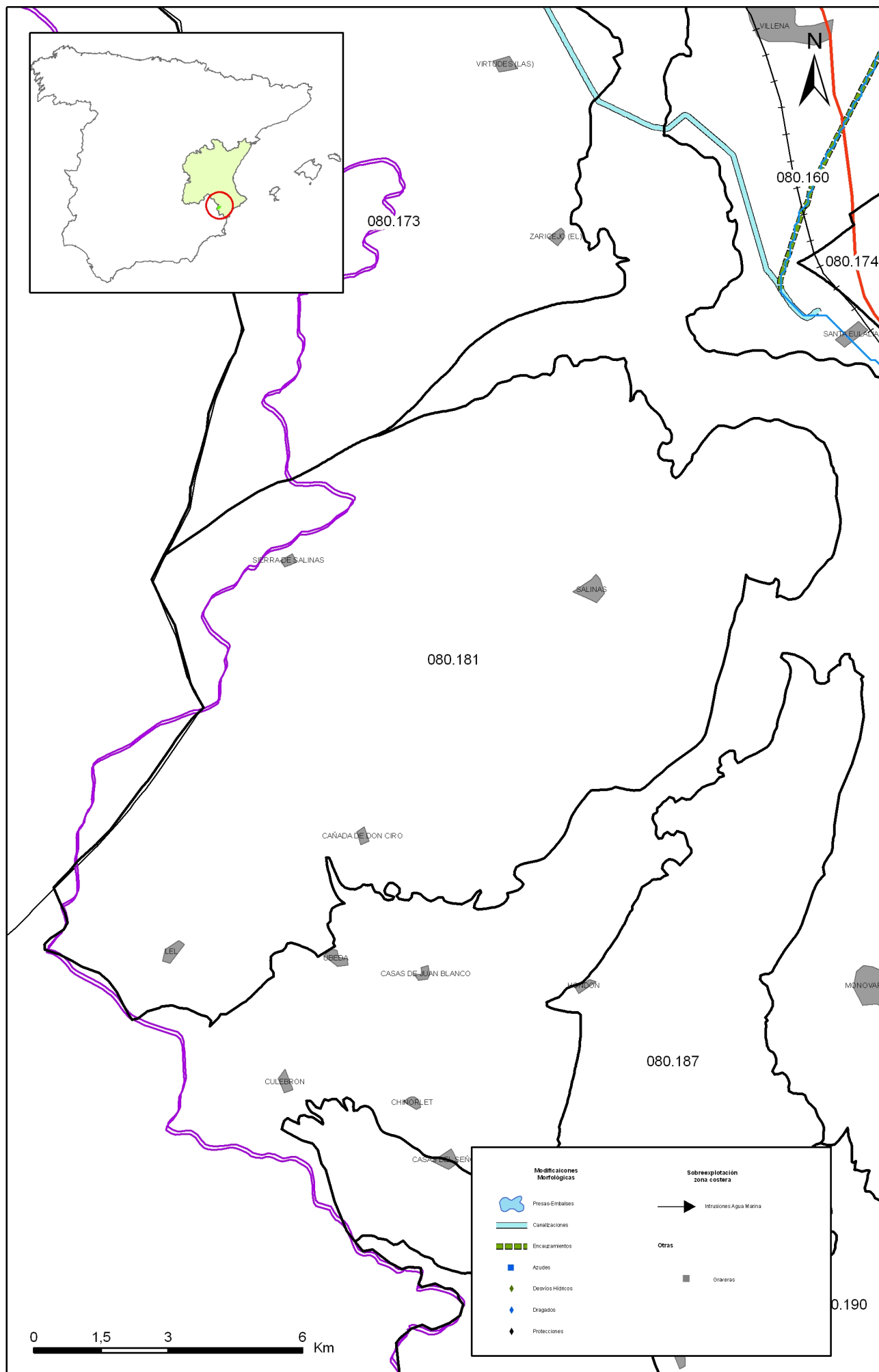
Observaciones:

Origen de la información:

Biblioteca	Cod. Biblioteca	Fecha	Título
IGME	00988	1987	Inventario nacional de balsas y escombreras. Alicante.

Información gráfica:

- Mapa de situación de otras presiones



Mapa 15.1 Mapa de inventario de azudes y presas de la masa Sierra de Salinas (080.181)

16.-OTRA INFORMACIÓN GRÁFICA Y LEYENDAS DE MAPAS

LEYENDA TEMÁTICA

		UDALF		USTALF										
		1		2		3		4						
		HAPLUDALF EUTRUDEPT Dystrudept		HAPLUSTALF HAPLUSTEPT		HAPLUSTALF USTORTHENT Haploxerept		HAPLUSTALF HAPLUSTEPT Dystrustept						
ALFISOL	XERALF	5	6	7	8	9	10	11	12	13	14	15	16	17
	HAPLOXERALEF Ochraqualf Epiaquept	HAPLOXERALEF Rhodoxeralf	HAPLOXERALEF CALCIXEREPT HAPLOXEREPT	HAPLOXERALEF CALCIXEREPT HAPLOXEREPT (Haploxerept)	HAPLOXERALEF CALCIXEREPT HAPLOXEREPT Calcixeroll Haploxeroll	HAPLOXERALEF CALCIXEREPT HAPLOXEREPT Ochraqualf	HAPLOXERALEF CALCIXEREPT HAPLOXEREPT Rhodoxeralf	HAPLOXERALEF CALCIXEREPT HAPLOXEREPT Rhodoxeralf Haploxerept	HAPLOXERALEF CALCIXEREPT HAPLOXEREPT XEROPSAMMENT Haploxerept	HAPLOXERALEF OCHRAQUALF Haploxeralf	HAPLOXERALEF PALEXERALEF Ochraqualf	HAPLOXERALEF PALEXERALEF Ochraqualf	HAPLOXERALEF PALEXERALEF Rhodoxeralf	HAPLOXERALEF RHODOXERALEF Calcixerept Haploxeroll
		18	19	20	21	22		23	24		25	26	27	28
		HAPLOXERALEF RHODOXERALEF Palexeralf	HAPLOXERALEF RHODOXERALEF CALCIXEREPT Haploxerept	HAPLOXERALEF RHODOXERALEF CALCIXEREPT Xerorthent Haploxerept	HAPLOXERALEF XERORTHENT CALCIXEREPT Haploxerept	HAPLOXERALEF XERORTHENT Rhodoxeralf		PALEXERALEF HAPLOXERALEF Ochraqualf	PALEXERALEF HAPLOXERALEF (Calcixerept)		RHODOXERALEF HAPLOXERALEF Haploxeralf Calcixeroll	RHODOXERALEF HAPLOXERALEF Calcixerept	RHODOXERALEF HAPLOXERALEF Haploxeralf Calcixerept	RHODOXERALEF XERORTHENT Haploxeroll
ANDISOL	TORRAND	29		USTAND				VITRAND						
	VITRITORRAND Torriorthent	VITRITORRAND Torriorthent		HAPLUSTAND DYSTRUSTEPT (Haplustept)		HAPLUSTAND HAPLUSTEPT HAPLUSTALF Ustorthent		HAPLUSTAND USTORTHENT DYSTRUSTEPT Haplustept		UDMTRAND DYSTRUDEPT		USTVITRAND DYSTRUSTEPT		
ARIDISOL	ARGID	35		CALCID										
	PALEARGID Haplargid	PALEARGID Haplargid		HAPLOCALCID CALCIGYPSID Haplogypsid		HAPLOCALCID PETROCALCID		HAPLOCALCID CALCIGYPSID HAPLOGYPSID Haplogypsid		HAPLOCALCID HAPLARGID Haplargid		HAPLOCALCID HAPLOCAMBID Haplargid		HAPLOCALCID HAPLOCAMBID Haplargid Haplosalid
		45	46	47	48	49	50	51	52				53	
		HAPLOCALCID PETROCALCID	HAPLOCALCID PETROCALCID HAPLARGID	HAPLOCALCID TORRIORTHENT	HAPLOCALCID TORRIORTHENT Haplargid	HAPLOCALCID TORRIORTHENT Haplosalid	HAPLOCALCID TORRIORTHENT Petrocalcid	HAPLOCALCID TORRIORTHENT HAPLOCAMBID Haplargid	HAPLOCALCID TORRIORTHENT HAPLOCAMBID Haplargid				PETROCALCID Haplargid	
	CAMBID	54	55	56	57	58		59	60				61	
		HAPLOCAMBID Haplargid	HAPLOCAMBID HAPLARGID Torrifluvent	HAPLOCAMBID TORRIORTHENT	HAPLOCAMBID TORRIORTHENT Haplargid	HAPLOCAMBID TORRIORTHENT Haplosalid		CALCIGYPSID HAPLOGYPSID Haplogypsid	CALCIGYPSID HAPLOGYPSID TORRIORTHENT				HAPLOSALID Haplocalcid	
ENTISOL	AQUENT	62	63	64		65		66	67		68		69	
	EPIAQUEPT EPIAQUEPT EPIAQUEPT Epiaquept Ferrod	EPIAQUEPT EPIAQUEPT EPIAQUEPT Epiaquept Ferrod	EPIAQUEPT EPIAQUEPT EPIAQUEPT Epiaquept Histosol		SULFAQUEPT HAPLOSALID HYDRAQUEPT		TORRIFLUVENT TORRIORTHENT HAPLOCALCID	TORRIFLUVENT TORRIORTHENT HAPLOCALCID		UDIFLUVENT FLUVAQUEPT Udorthent			USTIFLUVENT FLUVAQUEPT	
		70	71	72	73		74	75		76				
		USTIFLUVENT USTORTHENT Haplustept	XEROFUVENT XEROFUVENT HAPLOXEREPT Haploxeroll Calcixerept	XEROFUVENT XEROFUVENT XERORTHENT	XEROFUVENT XERORTHENT		XEROFUVENT EPIAQUEPT XEROPSAMMENT Xerorthent	XEROFUVENT EPIAQUEPT XEROPSAMMENT Xerorthent		XEROFUVENT UDIFLUVENT Haplocalcid			XEROFUVENT XERORTHENT HAPLOXEREPT	
	ORTHENT	77		78	79	80	81		82					
		CRYORTHENT		CRYORTHENT Dystrucryept	CRYORTHENT (DYSTRUCRYEPT)	CRYORTHENT (DYSTRUCRYEPT) Histosol	CRYORTHENT EUTROCRYEPT DYSTRUCRYEPT Cryendoll		CRYORTHENT DYSTRUCRYEPT					
		83	84	85	86	87	88	89	90	91	92	93		
		TORRIORTHENT	TORRIORTHENT Haplocalcid	TORRIORTHENT HAPLOCALCID Calcigypsid	TORRIORTHENT HAPLOCAMBID Haplocalcid	TORRIORTHENT HAPLOCAMBID Haplocalcid	TORRIORTHENT HAPLARGID Haplocalcid	TORRIORTHENT HAPLOCALCID	TORRIORTHENT TORRIORTHENT Haplargid Petrocalcid	TORRIORTHENT HAPLOCALCID Haplargid	TORRIORTHENT HAPLOCALCID Haplargid	TORRIORTHENT HAPLOCAMBID Haplargid		
		94	95	96	97		98	99	100	101	102	103		
		TORRIORTHENT HAPLOCAMBID Haplargid	TORRIORTHENT TORRIORTHENT Haplargid	TORRIORTHENT TORRIORTHENT Haplargid	TORRIORTHENT VITRITORRAND		UDORTHENT	UDORTHENT Dystrudept	UDORTHENT HAPLUDOLF Hapludoll	UDORTHENT HAPLUDOLF Hapludoll	UDORTHENT EUTRUDEPT	UDORTHENT UDIFLUVENT Hapludalf	UDORTHENT UDIFLUVENT Hapludalf	
		104	105		106	107	108	109	110	111		112	113	
		UDORTHENT DYSTRUDEPT	UDORTHENT DYSTRUDEPT Eutrudept		USTORTHENT	USTORTHENT Haplustept	USTORTHENT Ustifluvent	USTORTHENT HAPLUSTALF Haplustoll	USTORTHENT USTOCHREPT Haplustalf	USTORTHENT USTOCHREPT Rhodustalf		USTORTHENT DYSTRUSTEPT	USTORTHENT DYSTRUSTEPT Haplustept	
		114	115	116	117	118	119	120	121	122	123	124	125	
		XERORTHENT	XERORTHENT (Haploxerept)	XERORTHENT Haplosalid	XERORTHENT HAPLOXERALEF Rhodoxeralf	XERORTHENT HAPLOXERALEF Haplosalid	XERORTHENT CALCIXEREPT Haploxeroll Haploxerept	XERORTHENT HAPLUSTEPT Haploxeroll Haploxerept	XERORTHENT CALCIXEREPT HAPLOXERALEF Haploxeralf	XERORTHENT CALCIXEREPT HAPLOXERALEF Haploxeralf Rhodoxeralf	XERORTHENT HAPLOXERALEF	XERORTHENT HAPLOXERALEF Torriorthent	XERORTHENT HAPLOXERALEF	
		126	127	128	129	130	131	132	133	134	135	136	137	
		XERORTHENT HAPLOXEREPT Haplorhod	XERORTHENT HAPLOXEREPT Haploxerand Calcixerept	XERORTHENT HAPLOXEREPT Haploxerept Calcixerept	XERORTHENT EPIAQUEPT QUARTZPSAMMENT	XERORTHENT HAPLOXEREPT CALCIXEREPT Haploxerept	XERORTHENT HAPLOXEREPT HAPLOXEROLL Calcixerept	XERORTHENT HAPLOXERALEF HAPLOXERALEF Haploxeralf	XERORTHENT HAPLOXERALEF HAPLOXERALEF Haploxeralf	XERORTHENT XEROFUVENT Epiaquept	XERORTHENT HAPLOXERALEF Haploxerept	XERORTHENT XEROFUVENT HISTOSOL	XERORTHENT XEROFUVENT Xeropsamment	
		138	139		140		141		142		143	144	145	
		XERORTHENT DYSTROXEREPT	XERORTHENT DYSTROXEREPT HAPLOXERALEF		XERORTHENT XEROFUVENT (HAPLOSALID) Fluvaquent Xeropsamment		TORRIPSAMMENT PETROCALCID		USTIPSAMMENT PSAMMAQUEPT		XEROPSAMMENT HAPLOXERALEF Epiaquept	XEROPSAMMENT HAPLOXERALEF Xerorthent	XEROPSAMMENT XERORTHENT	
HISTOSOL	HISTOSOL	146		HISTOSOL										
		HISTOSOL		HISTOSOL										
INCEPTISOL	AQUEPT	147		CRYEPT										
	EPIAQUEPT HAPLOXEREPT Haploxeralf	EPIAQUEPT HAPLOXEREPT Haploxeralf		DYSTROCRYEPT CRYORTHENT		DYSTROCRYEPT DYSTROCRYEPT CRYORTHENT (Eutrocryept)		DYSTROCRYEPT CRYORTHENT Eutrocryept		EUTROCRYEPT RENDOLL		EUTROCRYEPT RENDOLL Haplocryalf		DYSTRUDEPT DYSTRUDEPT UDORTHENT Haplohumod
		157	158	159	160		161		162	163	164			
		DYSTRUDEPT HAPLUDOLF	DYSTRUDEPT UDORTHENT	DYSTRUDEPT UDORTHENT Hapludalf	DYSTRUDEPT UDORTHENT Udifluvent		DYSTRUDEPT UDORTHENT		EUTRUDEPT Udorthent	EUTRUDEPT HAPLUDOLF Hapludoll	EUTRUDEPT RENDOLL Hapludalf			
		168	169	170	171	172	173	174	175	176	177	178	179	
		HAPLUSTEPT	HAPLUSTEPT Haplustoll	HAPLUSTEPT HAPLUSTALF Ustorthent	HAPLUSTEPT HAPLUSTALF Haplustoll	HAPLUSTEPT HAPLUSTALF Rhodustalf	HAPLUSTEPT PALEUSTALF Ustorthent	HAPLUSTEPT USTVITRAND HAPLUSTAND	HAPLUSTEPT USTORTHENT	HAPLUSTEPT HAPLOXERALEF Rhodustalf	HAPLUSTEPT USTORTHENT Ustifluvent	HAPLUSTEPT DYSTRUSTEPT	HAPLUSTEPT DYSTRUSTEPT Haplustalf	
	XEREPT	180	181	182	183	184	185	186	187	188	189	190	191	192
		CALCIXEREPT	CALCIXEREPT Haploxeralf	CALCIXEREPT Xeropsamment	CALCIXEREPT EPIAQUEPT XERORTHENT Xeropsamment	CALCIXEREPT HAPLOXERALEF Haplosalid	CALCIXEREPT HAPLOXERALEF Xerorthent Rhodoxeralf	CALCIXEREPT HAPLOXERALEF HAPLOXEROLL Rhodoxeralf	CALCIXEREPT HAPLOXERALEF HAPLOXERALEF Rhodoxeralf	CALCIXEREPT HAPLOXERALEF Haplosalid	CALCIXEREPT CALCIXEREPT Haplosalid	CALCIXEREPT HAPLOXERALEF Rhodoxeralf	CALCIXEREPT HAPLOXERALEF HAPLOXERERT	CALCIXEREPT XEROFUVENT Haplosalid
		193	194	195	196	197	198		199	200	201	202		
		CALCIXEREPT XEROFUVENT Haploxeroll Xerorthent	CALCIXEREPT XEROPSAMMENT HAPLOXERALEF	CALCIXEREPT EPIAQUEPT XERORTHENT Xerorthent	CALCIXEREPT XERORTHENT Haplosalid	CALCIXEREPT XERORTHENT Haploxeralf	CALCIXEREPT XERORTHENT Xerofluvent		CALCIXEREPT HAPLOXERALEF EPIAQUEPT	CALCIXEREPT HAPLOXERALEF Xerorthent	CALCIXEREPT HAPLOXERERT	CALCIXEREPT HAPLOXERERT XERORTHENT		
		203	204		205	206	207	208	209	210	211	212	213	
		DYSTROXEREPT Xerorthent	DYSTROXEREPT XERORTHENT Quartzpsamment		HAPLOXEREPT Haploxeralf Rhodoxeralf	HAPLOXEREPT Haploxerept	HAPLOXEREPT Haploxeroll Xerorthent	EPIAQUEPT OCHRAQUALF Haploxeralf	HAPLOXEREPT HAPLOXERALEF Rhodoxeralf	HAPLOXEREPT HAPLOXERALEF XERORTHENT	HAPLOXEREPT HAPLUSTAND Dystrustept	HAPLOXEREPT XERORTHENT DYSTRUCRYEPT	HAPLOXEREPT XERORTHENT DYSTROXEREPT Haploxeralf	
MOLLISOL	UDOLL	214		USTOLL										
	HAPLUDOLL UDORTHENT	HAPLUDOLL RENDOLL UDORTHENT		HAPLUSTOLL HAPLUSTEPT		HAPLUSTOLL USTORTHENT		XEROLL						
		216	217		218		219	220	221	222				
		HAPLUSTOLL HAPLUSTEPT	HAPLUSTOLL USTORTHENT		CALCIXEROLL HAPLOXERALEF Rhodoxeralf		HAPLOXEROLL CALCIXEROLL HAPLOXERALEF Haploxerept	HAPLOXEROLL HAPLOXERALEF Haploxerept	HAPLOXEROLL HAPLOXERALEF Haploxerept	HAPLOXEROLL HAPLOXERALEF Haploxerept	HAPLOXEROLL HAPLOXERALEF Haploxerept			
SPODOSOL	ORTHOD	223		USTULT										
	HAPLORTHOD FERROD DYSTRUDEPT	HAPLORTHOD FERROD DYSTRUDEPT		HAPLUSTULT DYSTRUSTEPT Ustorthent										
ULTISOL	XERULT	224		XERULT										
	HAPLOXERULT DYSTROXEREPT Xerorthent	HAPLOXERULT DYSTROXEREPT Xerorthent		HAPLOXERULT EPIAQUEPT Epiaquept Xerorthent										
VERTISOL	UDERT	227		USTERT										
	HAPLUDERT UDORTHENT Udept	HAPLUDERT UDORTHENT Udept		HAPLUSTERT USTORTHENT USTEPT Calcustert										
		229	230	231	232	233	234	235						
		HAPLOXERERT CALCIXEREPT Haploxeroll	HAPLOXERERT CALCIXEREPT Haploxeroll Haploxeralf	HAPLOXERERT CALCIXEREPT HAPLOXERALEF	HAPLOXERERT CALCIXEREPT HAPLOXERALEF CALCIXEREPT	HAPLOXERERT CALCIXEREPT HAPLOXERALEF CALCIXEREPT Haploxeroll (Calcixerept)	HAPLOXERERT CALCIXEREPT HAPLOXERALEF CALCIXEREPT Xerorthent	HAPLOXERERT CALCIXEREPT XERORTHENT CALCIXEREPT						

IDENTIFICACIÓN DE SUELOS

Unidad cartográfica

SUBORDEN	
código	
GRUPO 1	} Suelo principal
GRUPO 2	
ASOCIACIÓN 1	} Suelo asociado
ASOCIACIÓN 2	
Inclusión 1	} Inclusiones
Inclusión 2	

La unidad taxonómica de suelo (versión del año 2003 de *Soil Taxonomy*) constituye el contenido de la unidad cartográfica y está formada por uno o dos suelos principales (40-60 %), uno o dos suelos asociados (15-40 %) y una o dos inclusiones (<15 %).

La leyenda se ha ordenado de acuerdo con la taxonomía de los suelos principales, asociados e inclusiones en ese orden.

El suelo principal (grupo 1 o grupo 1 + grupo 2) proporciona el color a cada conjunto de unidades cartográficas que aparecen juntas en la leyenda. Sólo se ha indicado el nombre del suborden en el primer conjunto de unidades cartográficas. En el resto sólo aparecen, si procede, los nombres del grupo, asociación e inclusiones para cada unidad cartográfica.

Consulta ejemplo: suelo con código 91

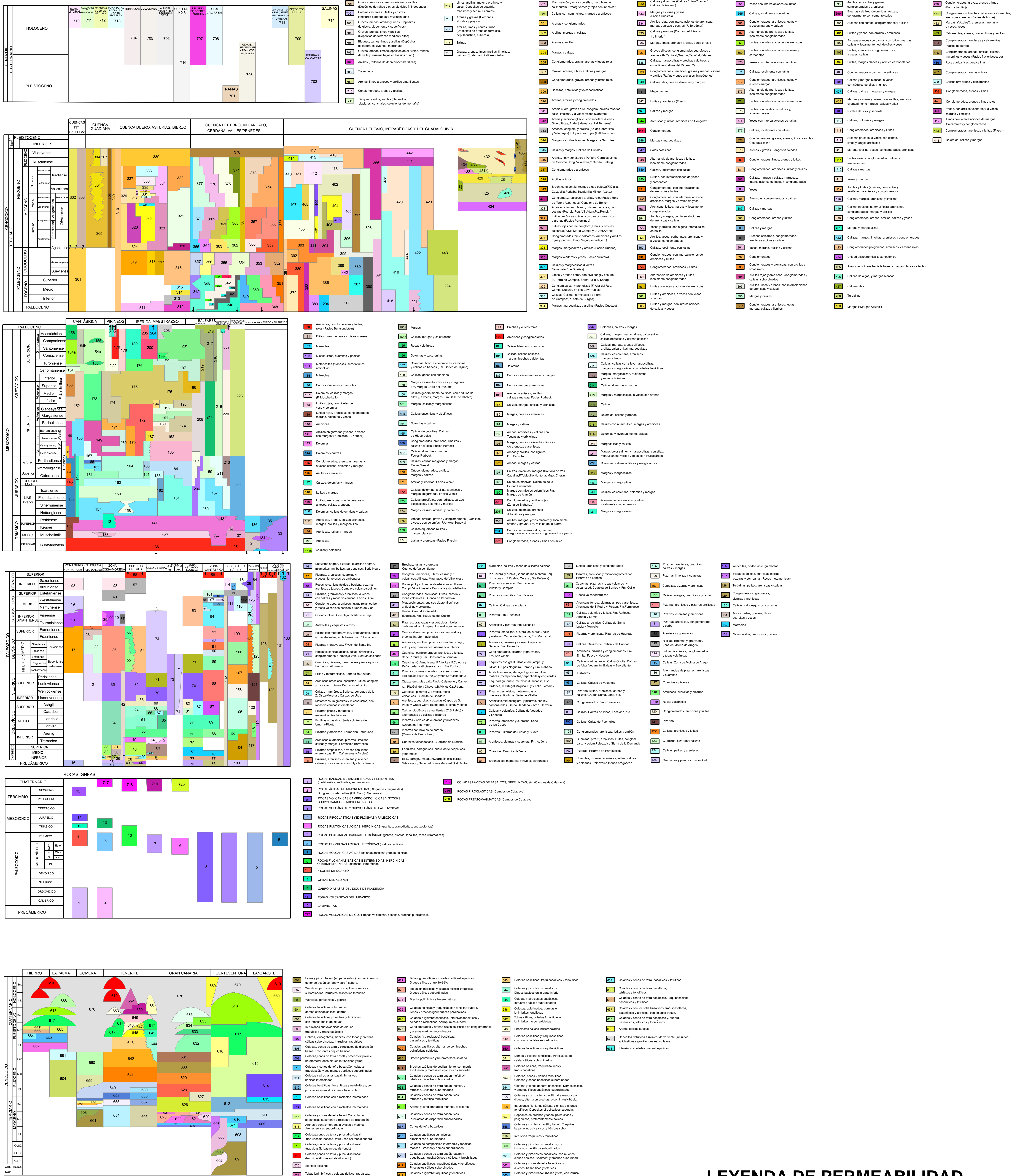
orden: Entisol	grupo 1: Torriorthent	asociación 1: Haplocalcid	inclusión 1: Haplargid
suborden: Orthent	grupo 2: no tiene	asociación 2: no tiene	inclusión 2: Petrocalcid

LEYENDA - CORINE, 2000

	Otras zonas de irrigación (2.1.2.2.0)		Grandes formaciones de matorral denso o medianamente denso (3.2.3.1.1) Matorrales subarbutivos o arbutivos muy poco densos (3.2.3.1.2)
	Humedales y zonas pantanosas (4.1.1.0.0) Turberas y prados turbosos (4.1.2.0.0) Marismas (4.2.1.0.0) Salinas (4.2.2.0.0)		Ramblas con poca o sin vegetación (3.3.1.2.0)
	Mares y océanos (5.2.3.0.0)		Olivares en secano (2.2.3.1.0)
	Zonas llanas intermareales (4.2.3.0.0) Ríos y cauces naturales (5.1.1.1.0) Canales artificiales (5.1.1.2.0) Lagos y lagunas (5.1.2.1.0) Embalses (5.1.2.2.0) Lagunas costeras (5.2.1.0.0) Estuarios (5.2.2.0.0)		Rocas desnudas con fuerte pendiente (acantilados, etc) (3.3.2.1.0) Afloramientos rocosos canchales (3.3.2.2.0) Xeroestepa subdesértica (3.3.3.1.0) Carcavas y/o zonas en proceso de erosión (3.3.3.2.0) Espacios orófilos altitudinales con vegetación escasa (3.3.3.3.0)
	Glaciares y nieves permanentes (3.3.5.0.0)		Olivares en regadío (2.2.3.2.0)
	Otros pastizales (3.2.1.2.0)		Viñedos en regadío (2.2.1.2.0)
	Cultivos anuales asociados con cultivos permanentes en secano (2.4.1.1.0) Mosaico de cultivos anuales con prados o praderas en secano (2.4.2.1.1) Mosaico de cultivos permanentes en secano (2.4.2.1.2) Mosaico de cultivos anuales con cultivos permanentes en secano (2.4.2.1.3)		Frutales en secano (2.2.2.1.0)
	Matorrales xerófilos macaronésicos (3.2.2.2.0) Matorral boscoso de frondosas (3.2.4.1.0) Matorral boscoso de coníferas (3.2.4.2.0) Matorral boscoso de bosque mixto (3.2.4.3.0)		Cítricos (2.2.2.2.1) Frutales tropicales (2.2.2.2.2) Otros frutales en regadío (2.2.2.2.3)
	Espacios de vegetación escasa (3.3.3.0.0)		Cultivos herbáceos en regadío (2.1.2.1.0)
	Mosaico de cultivos agrícolas en secano con espacios significativos de vegetación natural y semi-natural (2.4.3.1.0)		Praderas (2.3.1.0.0)
	Playas y dunas (3.3.1.0.0)		Zonas verdes urbanas (1.4.1.0.0) Restos de instalaciones deportivas y recreativas (1.4.2.0.0) Campos de golf (1.4.2.1.0)
	Mosaico de cultivos anuales asociados con cultivos permanentes en regadío (2.4.1.2.0) Mosaico de cultivos anuales con prados o praderas en regadío (2.4.2.2.1) Mosaico de cultivos permanentes en regadío (2.4.2.2.2) Mosaico de cultivos anuales con cultivos permanentes en regadío (2.4.2.2.3) Mosaico de cultivos mixtos en secano y regadío (2.4.2.3.0)		Pastizales, prados o praderas con arbolado adherado (2.4.4.1.0) Cultivos agrícolas con arbolado adherado (2.4.4.2.0) Mosaico de prados o praderas con espacios significativos de vegetación natural y semi-natural (2.4.3.3.0)
	Mosaico de cultivos agrícolas en regadío con espacios significativos de vegetación natural y semi-natural (2.4.3.2.0)		Perennifolias (3.1.1.1.0) Caducifolias y marcescentes (3.1.1.2.0) Otras frondosas de plantación (3.1.1.3.0) Mezcla de frondosas (3.1.1.4.0) Bosque de ribera (3.1.1.5.0) Bosque de coníferas con hojas aciculares (3.1.2.1.0) Bosque de coníferas con hojas de tipo cupresáceas (3.1.2.2.0) Bosque mixto (3.1.3.0.0)
	Pastizales supraforestales templado oceánicos, pirenicos y orocantábricos (3.2.1.1.1) Pastizales supraforestales mediterráneos (3.2.1.1.2) Otros pastizales templado oceánicos (3.2.1.2.1) Otros pastizales mediterráneos (3.2.1.2.2)		Zona de extracción minera (1.3.1.0.0) Escombreras y vertederos (1.3.2.0.0)
	Zonas quemadas (3.3.4.0.0)		Zonas industriales (1.2.1.1.0) Grandes superficies de equipamientos y servicios (1.2.1.2.0) Autopistas, autovías y terrenos asociados (1.2.2.1.0) Complejos ferroviarios (1.2.2.2.0) Zonas portuarias (1.2.3.0.0) Aeropuertos (1.2.4.0.0)
	Tierras de labor en secano (2.1.1.0.0)		
	Viñedos en secano (2.2.1.2.0)		
	Arrozales (2.1.3.0.0)		
	Landas y matorrales en climas húmedos. Vegetación mesófila (3.2.2.1.0)		Tejido urbano continuo (1.1.1.0.0) Estructura urbana abierta (1.1.2.1.0) Urbanizaciones exentas y/o ajardinadas (1.1.2.2.0) Zonas en construcción (1.3.3.0.0)

LEYENDA DEL MAPA LITOSTRATIGRÁFICO

1:200.000



LEYENDA DE PERMEABILIDAD

1:200.000

